

## NIELINIOWE DRGANIA ELASTYCZNIE POSADOWIONYCH SILNIKÓW TŁOKOWYCH Z CYLINDRAMI W UKŁADZIE $V$

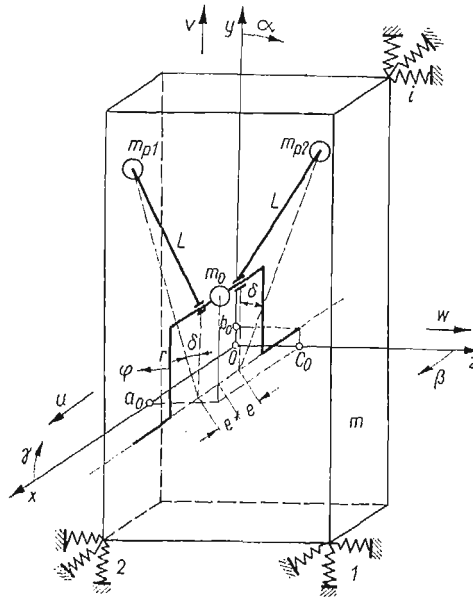
JANUSZ KOLENDA (GDAŃSK)

### 1. Wstęp

Elastyczne posadowienie silników tłokowych stosuje się w celu zmniejszenia poziomu drgań i hałasów przenoszonych drogą strukturalną na fundament i dalsze elementy konstrukcji. W wyniku drgań elastycznie posadowionych silników powstają w nich dodatkowe siły i momenty masowe, powodujące obciążenie poszczególnych elementów silnika, a także samego silnika, jako nieidealnego źródła energii. Jak wykazały badania PFLAUMA [1] i szacunkowe obliczenia HEMPELA [2], siły i momenty te nie są duże, jednakże celowe byłoby ich uwzględnianie, przede wszystkim w przypadkach, gdy pożądana jest dokładniejsza analiza drgań i skuteczniejsza z nimi walka. Jest to szczególnie istotne z punktu widzenia ochrony zdrowia człowieka, zwłaszcza wobec obserwowanego w ostatnich latach wzrostu mocy z cylindra, pociągającego za sobą wzrost sił i momentów wymuszających drgania. Jest to istotne także z powodu strat energetycznych wynikających z elastycznego posadowienia, zwłaszcza wobec znacznego wzrostu cen paliwa na światowych rynkach. Minimalizacja tych strat mogłaby być w uzasadnionych przypadkach stosowana jako dodatkowe kryterium doboru systemu amortyzacji. Dokładniejszą analizę drgań i wyznaczenie dodatkowych sił i momentów masowych oraz strat energetycznych umożliwia uwzględnienie nieidealnego źródła energii i potraktowanie prędkości kątowej silnika jako wielkości zmiennej. Wpływ nieidealnego źródła energii i jego sprzężenie z układem drgającym były po raz pierwszy analizowane przez ROCARDA [3] (dla przypadku wirującej masy niewyrównoważonej, napędzanej silnikiem elektrycznym), a później także przez KONONIENKĘ [4] i GOŁOSKOKOWĄ [5]. Zagadnienia te były rozpatrywane przez autora dla przypadków układu wibracyjno-uderzeniowego [6] oraz silników tłokowych o pionowym układzie cylindrów [7]. Niniejsza praca dotyczy silników tłokowych z cylindrami w układzie  $V$ .

### 2. Zależności kinematyczne

Rozpatrywać będziemy układ dyskretny; elementy silnika i odbiornika mocy, sprzęgło i fundament, na którym elastycznie posadowiony jest silnik wraz z odbiornikiem mocy, potraktujemy jako sztywne. Schemat obliczeniowy układu przedstawiono na rys. 1.

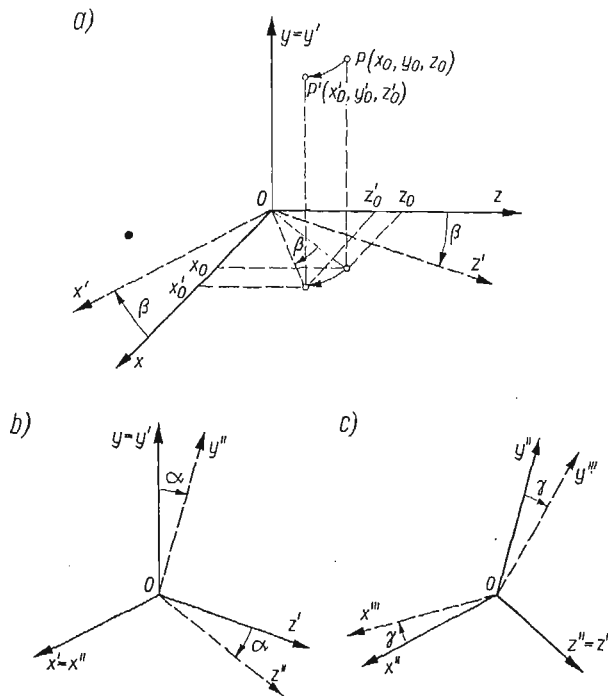


Rys. 1

Wprowadzimy oznaczenia:

- $a_0, b_0, c_0; a_1, b_0, c_0; \dots a_n, b_0, c_0; \dots a_{c-1}, b_0, c_0$  współrzędne punktów przecięcia z osią wału prostych prostopadłych do osi wału, poprowadzonych ze środków ciężkości kolejnych mas  $m_0$ , w stanie spoczynkowym i przy  $\varphi = 0$ ,
- $c$  ilość wykorbień,
- $c_{xi}, c_{yi}, c_{zi}$  współczynniki sztywności  $i$ -tej podkładki elastycznej przy ugięciach w kierunkach osi  $0x, 0y$  i  $0z$ ,
- $e$  odległość osi korbowodu od środka ciężkości masy  $m_0$ ,
- $g$  przyspieszenie ziemskie,
- $h_{xi}, h_{yi}, h_{zi}$  współczynniki wiskotycznego tłumienia  $i$ -tej podkładki elastycznej przy obrotach jej poprzecznych przekrojów względem osi  $0'x', 0'y'$  i  $0'z'$ ,
- $k_{xi}, k_{yi}, k_{zi}$  współczynniki sztywności  $i$ -tej podkładki elastycznej przy obrotach, jak wyżej,
- $l_{xi}, l_{yi}, l_{zi}$  współczynniki wiskotycznego tłumienia  $i$ -tej podkładki elastycznej przy ugięciach w kierunkach osi  $0x, 0y$  i  $0z$ ,
- $L$  długość korbowodu,
- $m$  łączna masa układu drgającego,
- $m_0$  masa niewyrównowazona, odpowiadająca jednemu wykorbieciu i skupiona na osi czopa korbowego,
- $m_{p1/2}$  masa niewyrównowazona w ruchu postępowo-zwrotnym, odpowiadająca jednemu cylindrowi i skupiona na osi sworznia tłokowego,
- $O$  położenie środka ciężkości układu w położeniu spoczynkowym układu drgającego i przy  $\varphi = 0$ ,
- $r$  długość ramienia korby,

- $u, v, w$  przemieszczenia środka ciężkości układu drgającego w kierunkach osi  $0x, 0y, 0z$ ,
  - $u_i, v_i, w_i$  przemieszczenia punktów zamocowania  $i$ -tej podkładki elastycznej do układu drgającego w kierunkach osi  $0x, 0y$  i  $0z$ ,
  - $0x, 0y, 0z$  nieruchome osie, pokrywające się z głównymi osiami bezwładności  $0'x', 0'y', 0'z'$  układu drgającego w stanie spoczynkowym i przy  $\varphi = 0$ ,
  - $x_i, y_i, z_i$  współrzędne punktu zamocowania  $i$ -tej podkładki elastycznej do układu drgającego w stanie spoczynkowym i przy  $\varphi = 0$ ,
  - $\alpha, \beta, \gamma$  kąty obrotu układu drgającego wokół osi  $0'x', 0'y'$  i  $0'z'$ ,
  - $2\delta$  kąt pomiędzy płaszczyznami dwóch rzędów cylindrowych,
  - $\xi, \eta, \zeta$  przemieszczenia mas niewyrównoważonych w kierunkach osi  $0x, 0y$  i  $0z$ ,
- $\varphi, \varphi + d_1\pi, \varphi + 2d_2\pi, \dots, \varphi + nd_n\pi, \dots, \varphi + (c-1)d_{c-1}\pi$  kąty obrotu kolejnych wykorbień.



Rys. 2

W celu wyznaczenia przemieszczeń poszczególnych punktów układu przy jego drganiach rozpatrzmy przemieszczenia względem nieruchomego układu współrzędnych  $x, y, z$  punktu  $P$  ciała obracającego się o kąty  $\alpha, \beta$  i  $\gamma$  wokół trzech wzajemnie prostopadłych osi, związanych z tym ciałem (rys. 2). Niech osie związane z ciałem pokrywają się w stanie spoczynku z osiami  $x, y, z$ , a współrzędne punktu  $P$  w układzie  $x, y, z$  w stanie

spoczynku będą  $x_0, y_0, z_0$ . Po dokonaniu obrotu ciała o kąt  $\beta$  wokół osi  $y$  (rys. 2a) osie związane z ciałem zajmą położenia  $x', y' = y, z'$ , a punkt  $P$  zajmie położenie  $P'$  o współrzędnych w układzie  $x, y, z$ :

$$(2.1) \quad x'_0 = x_0 \cos \beta + z_0 \sin \beta, \quad y'_0 = y_0, \quad z'_0 = z_0 \cos \beta - x_0 \sin \beta.$$

W układzie  $x', y', z'$  punkt  $P'$  ma współrzędne  $x_0, y_0, z_0$ , zatem po obrocie ciała o kąt  $\alpha$  względem osi  $x'$  (rys. 2b) punkt  $P'$  zajmie położenie o współrzędnych w układzie  $x', y', z'$ :

$$(2.2) \quad x_0, \quad y_0 \cos \alpha - z_0 \sin \alpha, \quad z_0 \cos \alpha + y_0 \sin \alpha.$$

Jeśli punkt o współrzędnych  $x_0, y_0, z_0$  w układzie  $x', y', z'$  ma względem układu  $x, y, z$  współrzędne (2.1), to punkt o współrzędnych (2.2) ma względem układu  $x, y, z$  współrzędne:

$$(2.3) \quad \begin{aligned} x''_0 &= x_0 \cos \beta + (z_0 \cos \alpha + y_0 \sin \alpha) \sin \beta, \\ y''_0 &= y_0 \cos \alpha - z_0 \sin \alpha, \\ z''_0 &= (z_0 \cos \alpha + y_0 \sin \alpha) \cos \beta - x_0 \sin \beta. \end{aligned}$$

Analogicznie po obrocie ciała o kąt  $\gamma$  wokół osi  $z''$  (rys. 2c) otrzymujemy:

$$(2.4) \quad \begin{aligned} x'''_0 &= (x_0 \cos \gamma - y_0 \sin \gamma) \cos \beta + [z_0 \cos \alpha + (y_0 \cos \gamma + x_0 \sin \gamma) \sin \alpha] \sin \beta, \\ y'''_0 &= (y_0 \cos \gamma + x_0 \sin \gamma) \cos \alpha - z_0 \sin \alpha, \\ z'''_0 &= [z_0 \cos \alpha + (y_0 \cos \gamma - x_0 \sin \gamma) \sin \alpha] \cos \beta - (x_0 \cos \gamma - y_0 \sin \gamma) \sin \beta. \end{aligned}$$

Wyznamy teraz odpowiednie przemieszczenia poszczególnych punktów silnika. Dla  $\delta = 0$  przemieszczenia mas  $m_{p1}$  i  $m_{p2}$  wywołane obrotem korby o kąt  $\varphi$  wynoszą [8]

$$(2.5) \quad (\eta)_{m_{p1/2}} = -r \left( 1 - \cos \varphi + \frac{1}{4} \lambda - \frac{1}{4} \lambda \cos 2\varphi + \frac{3}{64} \lambda^3 + \dots \right), \quad \lambda = \frac{r}{L}.$$

Dla  $\delta > 0$  przemieszczenia mas  $m_{p1}$  i  $m_{p2}$  w kierunkach osi cylindrów odpowiadających tym masom, wywołane obrotem korby o kąt  $\varphi$ , wyniosą z pominięciem członów zawierających  $\lambda$  w potęgach trzeciej i wyższych

$$(2.6) \quad (\eta)_{m_{p1/2}}^0 = -r \left[ 1 - \cos(\varphi \mp \delta) + \frac{1}{4} \lambda - \frac{1}{4} \lambda \cos 2(\varphi \mp \delta) \right].$$

W wyrażeniu tym i następujących w przypadkach podwójnych znaków „+” i „-” górny znak dotyczy masy  $m_{p1}$ , a dolny —  $m_{p2}$ .

Współrzędne niewyrównoważonych mas odpowiadających  $n$ -temu wykorbieniu w położeniu spoczynkowym układu dla  $\varphi = 0$  wynoszą:

$$(2.7) \quad \begin{aligned} (x_n)_{m_{p1/2}} &= a_n \pm e, \\ (y_n)_{m_{p1/2}} &= b_1 - r \left[ 1 - \cos(nd_n \pi \mp \delta) + \frac{1}{4} \lambda - \frac{1}{4} \lambda \cos 2(nd_n \pi \mp \delta) \right] \cos \delta, \\ (z_n)_{m_{p1/2}} &= c_1 \pm r \left[ 1 - \cos(nd_n \pi \mp \delta) + \frac{1}{4} \lambda - \frac{1}{4} \lambda \cos 2(nd_n \pi \mp \delta) \right] \sin \delta, \\ (x_n)_{m_0} &= a_n, \quad (y_n)_{m_0} = b_0 + r \cos nd_n \pi, \quad (z_n)_{m_0} = c_0 - r \sin nd_n \pi, \end{aligned}$$

gdzie oznaczono:

$$b_1 = b_0 + (r + L) \cos \delta, \quad c_1 = c_0 \mp (r + L) \sin \delta.$$

Na skutek przemieszczeń  $u$ ,  $v$ ,  $w$  i odchyżeń silnika o kąty  $\beta$ ,  $\alpha$ ,  $\gamma$  niewyrównoważone masy  $n$ -tego wykorbienia osiągają przy  $\varphi = 0$  zgodnie z (2.4) i (2.7) położenia o współrzędnych:

$$\begin{aligned}
 (x_n)_{m_{p1/2}} &= u + \left[ (a_n \pm e) \cos \gamma - \left\{ b_1 - r \left[ 1 - \cos(nd_n \pi \mp \delta) + \frac{1}{4} \lambda - \right. \right. \right. \\
 &\quad \left. \left. - \frac{1}{4} \lambda \cos 2(nd_n \pi \mp \delta) \right] \cos \delta \right\} \sin \gamma \right] \cos \beta + \left[ \left\{ c_1 \pm r \left[ 1 - \cos(nd_n \pi \mp \delta) + \right. \right. \right. \\
 &\quad \left. \left. + \frac{1}{4} \lambda - \frac{1}{4} \lambda \cos 2(nd_n \pi \mp \delta) \right] \sin \delta \right\} \cos \alpha + \left\{ b_1 - r \left[ 1 - \cos(nd_n \pi \mp \delta) + \right. \right. \\
 &\quad \left. \left. + \frac{1}{4} \lambda - \frac{1}{4} \lambda \cos 2(nd_n \pi \mp \delta) \right] \cos \delta \right\} \sin \alpha \cos \gamma + (a_n \pm e) \sin \alpha \sin \gamma \right] \sin \beta, \\
 (y_n)_{m_{p1/2}} &= v + \left[ \left\{ b_1 - r \left[ 1 - \cos(nd_n \pi \mp \delta) + \frac{1}{4} \lambda - \frac{1}{4} \lambda \cos 2(nd_n \pi \mp \delta) \right] \cos \delta \right\} \times \right. \\
 &\quad \left. \times \cos \gamma + (a_n \pm e) \sin \gamma \right] \cos \alpha - \left[ \left\{ c_1 \pm r \left[ 1 - \cos(nd_n \pi \mp \delta) \pm \frac{1}{4} \lambda - \right. \right. \right. \\
 &\quad \left. \left. - \frac{1}{4} \lambda \cos 2(nd_n \pi \mp \delta) \right] \sin \delta \right\} \sin \alpha, \\
 (z_n)_{m_{p1/2}} &= w + \left[ \left\{ c_1 \pm r \left[ 1 - \cos(nd_n \pi \mp \delta) + \frac{1}{4} \lambda - \frac{1}{4} \lambda \cos 2(nd_n \pi \mp \delta) \right] \sin \delta \right\} \times \right. \\
 &\quad \left. \times \cos \alpha + \left\{ b_1 - r \left[ 1 - \cos(nd_n \pi \mp \delta) + \frac{1}{4} \lambda - \frac{1}{4} \lambda \cos 2(nd_n \pi \mp \delta) \right] \cos \delta \right\} \times \right. \\
 &\quad \left. \times \cos \gamma \sin \alpha - (a_n \pm e) \sin \alpha \sin \gamma \right] \cos \beta - \left[ (a_n \pm e) \cos \gamma - \left\{ b_1 - \right. \right. \\
 &\quad \left. \left. - r \left[ 1 - \cos(nd_n \pi \mp \delta) + \frac{1}{4} \lambda - \frac{1}{4} \lambda \cos 2(nd_n \pi \mp \delta) \right] \cos \delta \right\} \sin \gamma \right] \sin \beta, \\
 (x_n)_{m_0} &= u + [a_n \cos \gamma - (b_0 + r \cos nd_n \pi) \sin \gamma] \cos \beta + \{(c_0 - r \sin nd_n \pi) \cos \alpha + \\
 &\quad + [(b_0 + r \cos nd_n \pi) \cos \gamma + a_n \sin \gamma] \sin \alpha\} \sin \beta, \\
 (y_n)_{m_0} &= v + [(b_0 + r \cos nd_n \pi) \cos \gamma + a_n \sin \gamma] \cos \alpha - (c_0 - r \sin nd_n \pi) \sin \alpha, \\
 (z_n)_{m_0} &= w + \{(c_0 - r \sin nd_n \pi) \cos \alpha + [(b_0 + r \cos nd_n \pi) \cos \gamma - \\
 &\quad - a_n \sin \gamma] \sin \alpha\} \cos \beta - [a_n \cos \gamma - (b_0 + r \cos nd_n \pi) \sin \gamma] \sin \beta.
 \end{aligned}$$

Różnica współrzędnych (2.8) i (2.7) stanowi przemieszczenia niewyrównoważonych mas w kierunkach osi  $0x$ ,  $0y$  i  $0z$  na skutek ruchów silnika przy  $\varphi = 0$ .

Współrzędne niewyrównoważonych mas w położeniu spoczynkowym układu przy  $\varphi \neq 0$  są:

$$\begin{aligned}
 (x_n)_{m_{p1/2}} &= a_n \pm e, & (y_n)_{m_{p1/2}} &= b_1 - r \left( 1 + \frac{1}{4} \lambda - f_1 \right) \cos \delta, \\
 (z_n)_{m_{p1/2}} &= c_1 \pm r \left( 1 + \frac{1}{4} \lambda - f_1 \right) \sin \delta, \\
 (x_n)_{m_0} &= a_n, & (y_n)_{m_0} &= b_0 + r \cos(\varphi + nd_n \pi), & (z_n)_{m_0} &= c_0 - r \sin(\varphi + nd_n \pi),
 \end{aligned}$$

gdzie

$$f_1 = \cos(\varphi + nd_n\pi \mp \delta) + \frac{1}{4} \lambda \cos 2(\varphi + nd_n\pi \mp \delta).$$

W wyniku ruchów silnika niewyrównoważone masy zajmą przy  $\varphi \neq 0$  położenia o współrzędnych:

$$\begin{aligned} (x_n)_{m_{p1/2}} &= u + \left\{ (a_n \pm e) \cos \gamma - \left[ b_1 - r \left( 1 + \frac{1}{4} \lambda - f_1 \right) \cos \delta \right] \sin \gamma \right\} \cos \beta - \\ &\quad - \left\{ \left[ c_1 \pm r \left( 1 + \frac{1}{4} \lambda - f_1 \right) \sin \delta \right] \cos \alpha + \left[ b_1 - r \left( 1 + \frac{1}{4} \lambda - f_1 \right) \cos \delta \right] \times \right. \\ &\quad \left. \times \cos \gamma \sin \alpha + (a_n \pm e) \sin \gamma \sin \alpha \right\} \sin \beta, \\ (y_n)_{m_{p1/2}} &= v + \left\{ \left[ b_1 - r \left( 1 + \frac{1}{4} \lambda - f_1 \right) \cos \delta \right] \cos \gamma + (a_n \pm e) \sin \gamma \right\} \cos \alpha - \\ &\quad - \left[ c_1 \pm r \left( 1 + \frac{1}{4} \lambda - f_1 \right) \sin \delta \right] \sin \alpha, \\ (2.10) \quad (z_n)_{m_{p1/2}} &= w + \left\{ \left[ c_1 \pm r \left( 1 + \frac{1}{4} \lambda - f_1 \right) \sin \delta \right] \cos \alpha + \left[ b_1 - r \left( 1 + \frac{1}{4} \lambda - f_1 \right) \times \right. \right. \\ &\quad \left. \left. \times \cos \delta \right] \cos \gamma \sin \alpha - (a_n \pm e) \sin \alpha \sin \gamma \right\} \cos \beta - \left\{ (a_n \pm e) \cos \gamma - \right. \\ &\quad \left. - \left[ b_1 - r \left( 1 + \frac{1}{4} \lambda - f_1 \right) \cos \delta \right] \sin \gamma \right\} \sin \beta, \\ (x_n)_{m_0} &= u + \{ a_n \cos \gamma - [b_0 + r \cos(\varphi + nd_n\pi)] \sin \gamma \} \cos \beta + [c_0 - r \sin(\varphi + \\ &\quad + nd_n\pi)] \cos \alpha + \{ [b_0 + r \cos(\varphi + nd_n\pi)] \cos \gamma + a_n \sin \gamma \} \sin \alpha \} \sin \beta, \\ (y_n)_{m_0} &= v + \{ [b_0 + r \cos(\varphi + nd_n\pi)] \cos \gamma + a_n \sin \gamma \} \cos \alpha - \\ &\quad - [c_0 - r \sin(\varphi + nd_n\pi)] \sin \alpha, \\ (z_n)_{m_0} &= w + [c_0 - r \sin(\varphi + nd_n\pi)] \cos \alpha + \{ [b_0 + r \cos(\varphi + nd_n\pi)] \cos \gamma - \\ &\quad - a_n \sin \gamma \} \sin \alpha \} \cos \beta - \{ a_n \cos \gamma - [b_0 + r \cos(\varphi + nd_n\pi)] \sin \gamma \} \sin \beta. \end{aligned}$$

Różnica współrzędnych (2.10) i (2.8) stanowi przemieszczenia niewyrównoważonych mas  $n$ -tego wykorbienia wywołane obrotem wału o kąt  $\varphi$ :

$$\begin{aligned} (\xi_n^\varphi)_{m_{p1/2}} &= r \left[ f_1 - \cos(nd_n\pi \mp \delta) - \frac{1}{4} \lambda \cos 2(nd_n\pi \mp \delta) \right] (\cos \delta \sin \alpha \sin \beta \cos \gamma - \\ &\quad - \cos \delta \cos \beta \sin \gamma \mp \sin \delta \cos \alpha \sin \beta), \\ (2.11) \quad (\eta_n^\varphi)_{m_{p1/2}} &= r \left[ f_1 - \cos(nd_n\pi \mp \delta) - \frac{1}{4} \lambda \cos 2(nd_n\pi \mp \delta) \right] (\cos \delta \cos \alpha \cos \gamma \mp \\ &\quad \mp \sin \delta \sin \alpha), \\ (\zeta_n^\varphi)_{m_{p1/2}} &= r \left[ f_1 - \cos(nd_n\pi \mp \delta) - \frac{1}{4} \lambda \cos 2(nd_n\pi \mp \delta) \right] (\cos \delta \sin \beta \sin \gamma + \\ &\quad + \cos \delta \sin \alpha \cos \beta \cos \gamma \mp \sin \delta \cos \alpha \cos \beta), \end{aligned}$$

$$(2.11) \quad \begin{aligned} (\xi_n^{\varphi})_{m_0} &= r[\cos(\varphi + nd_n\pi) - \cos nd_n\pi](\sin \alpha \sin \beta \cos \gamma - \cos \beta \sin \gamma) + \\ \text{[c.d.]} & \quad + r[\sin nd_n\pi - \sin(\varphi + nd_n\pi)] \cos \alpha \sin \beta, \\ (\eta_n^{\varphi})_{m_0} &= r[\cos(\varphi + nd_n\pi) - \cos nd_n\pi] \cos \alpha \cos \gamma + r[\sin(\varphi + nd_n\pi) - \sin nd_n\pi] \sin \alpha, \\ (\zeta_n^{\varphi})_{m_0} &= r[\cos(\varphi + nd_n\pi) - \cos nd_n\pi](\sin \alpha \cos \beta \cos \gamma + \sin \beta \sin \gamma) - \\ & \quad - r[\sin(\varphi + nd_n\pi) - \sin nd_n\pi] \cos \alpha \cos \beta. \end{aligned}$$

Wypadkowe przemieszczenia niewyrównoważonych  $n$ -tego wykorbienia są sumą przemieszczeń wynikających z różnicy współrzędnych (2.8) i (2.7) oraz przemieszczeń (2.11):

$$(2.11) \quad \begin{aligned} (\xi_n)_{m_{p1/2}} &= u + (a_n \mp e)(\cos \beta \cos \gamma - 1) - \left[ b_1 - r \left( 1 + \frac{1}{4} \lambda - f_1 \right) \cos \delta \right] \cos \beta \sin \gamma + \\ & \quad + \left\{ \left[ c_1 \pm r \left( 1 + \frac{1}{4} \lambda - f_1 \right) \sin \delta \right] \cos \alpha + \left[ b_1 - r \left( 1 + \frac{1}{4} \lambda - f_1 \right) \cos \delta \right] \times \right. \\ & \quad \left. \times \sin \alpha \cos \gamma + (a_n \pm e) \sin \alpha \sin \gamma \right\} \sin \beta, \\ (\eta_n)_{m_{p1/2}} &= v + \left[ b_1 - r \left( 1 + \frac{1}{4} \lambda - f_1 \right) \cos \delta \right] (\cos \alpha \cos \gamma - 1) + (a_n \pm e) \cos \alpha \sin \gamma - \\ & \quad - \left[ c_1 \pm r \left( 1 + \frac{1}{4} \lambda - f_1 \right) \sin \delta \right] \sin \alpha + r \left[ f_1 - \cos(nd_n\pi \mp \delta) - \right. \\ & \quad \left. - \frac{1}{4} \lambda \cos 2(nd_n\pi \mp \delta) \right] \cos \delta \cos \alpha \cos \gamma, \\ (2.12) \quad (\xi_n)_{m_{p1/2}} &= w \left[ c_1 \pm r \left( 1 + \frac{1}{4} \lambda - f_1 \right) \sin \delta \right] (\cos \alpha \cos \beta - 1) + \\ & \quad + \left\{ \left[ b_1 - r \left( 1 + \frac{1}{4} \lambda - f_1 \right) \cos \delta \right] \cos \gamma \sin \alpha - (a_n \pm e) \sin \alpha \sin \gamma \right\} \cos \beta - \\ & \quad - \left\{ (a_n \pm e) \cos \gamma - \left[ b_1 - r \left( 1 + \frac{1}{4} \lambda - f_1 \right) \cos \delta \right] \sin \gamma \right\} \sin \beta \mp r \left[ f_1 - \right. \\ & \quad \left. - \cos(nd_n\pi \mp \delta) - \frac{1}{4} \lambda \cos 2(nd_n\pi \mp \delta) \right] \sin \delta \cos \alpha \cos \beta, \\ (\xi_n)_{m_0} &= u + a_n(\sin \alpha \sin \beta \sin \gamma + \cos \beta \cos \gamma - 1) + [b_0 + r \cos(\varphi + nd_n\pi)] \times \\ & \quad \times (\sin \alpha \sin \beta \cos \gamma - \cos \beta \sin \gamma) + [c_0 - r \sin(\varphi + nd_n\pi)] \cos \alpha \sin \beta, \\ (\eta_n)_{m_0} &= v + a_n \cos \alpha \sin \gamma + [b_0 + r \cos(\varphi + nd_n\pi)] \cos \alpha \cos \gamma - (b_0 + r \cos nd_n\pi) - \\ & \quad - [c_0 - r \sin(\varphi + nd_n\pi)] \sin \alpha, \\ (\zeta_n)_{m_0} &= w - a_n(\sin \alpha \cos \beta \sin \gamma + \sin \beta \cos \gamma) + [b_0 + r \cos(\varphi + nd_n\pi)](\sin \alpha \cos \beta \times \\ & \quad \times \cos \gamma + \sin \beta \sin \gamma) + [c_0 - r \sin(\varphi + nd_n\pi)] \cos \alpha \cos \beta - (c_0 - r \sin nd_n\pi). \end{aligned}$$

Przemieszczenia punktu zamocowania  $i$ -tej podkładki elastycznej do układu drgającego wyniosą na podstawie (2.4):

$$(2.13) \quad \begin{aligned} u_i &= u - x_i + (x_i \cos \gamma - y_i \sin \gamma) \cos \beta + [z_i \cos \alpha + (y_i \cos \gamma + x_i \sin \gamma) \sin \alpha] \sin \beta, \\ v_i &= v - y_i + (y_i \cos \gamma + x_i \sin \gamma) \cos \alpha - z_i \sin \alpha, \\ w_i &= w - z_i + [z_i \cos \alpha + (y_i \cos \gamma - x_i \sin \gamma) \sin \alpha] \cos \beta - (x_i \cos \gamma - y_i \sin \gamma) \sin \beta. \end{aligned}$$

Energię kinetyczną układu drgającego wyrazić można następująco:

$$(2.14) \quad T_0 = \frac{1}{2} [m - c(m_{p1} + m_{p2} + m_0)](\dot{u}^2 + \dot{v}^2 + \dot{w}^2) + \frac{1}{2} I'_x \dot{\alpha}^2 + \frac{1}{2} I'_y \dot{\beta}^2 + \frac{1}{2} I'_z \dot{\gamma}^2 + \\ + \frac{1}{2} I' \dot{\varphi}^2 + \frac{1}{2} \sum_{n=0}^{c-1} \{m_{p1} [(\dot{\xi}_n)_{m_{p1}}^2 + (\dot{\eta}_n)_{m_{p1}}^2 + (\dot{\zeta}_n)_{m_{p1}}^2] + m_{p2} [(\dot{\xi}_n)_{m_{p2}}^2 + (\dot{\eta}_n)_{m_{p2}}^2 + \\ + (\dot{\zeta}_n)_{m_{p2}}^2] + m_0 [(\dot{\xi}_n)_{m_0}^2 + (\dot{\eta}_n)_{m_0}^2 + (\dot{\zeta}_n)_{m_0}^2]\},$$

gdzie  $I'_x, I'_y, I'_z$  oznaczają główne momenty bezwładności układu drgającego bez mas niewyrównoważonych,  $I'$  — moment bezwładności wirujących mas wyrównoważonych względem osi wału.

Przyjmujemy, że w położeniu spoczynkowym i przy  $\varphi = 0$  energia potencjalna układu drgającego jest równa zero. W czasie drgań układu energię potencjalną określimy jako sumę przyrostu energii potencjalnej podkładek elastycznych na skutek ich odkształceń i przyrostu energii potencjalnej niewyrównoważonych mas wynikającego z pionowych przemieszczeń tych mas na skutek obrotu wału korbowego

$$(2.15) \quad V = \frac{1}{2} \sum_i (c_{xi} u_i^2 + c_{yi} v_i^2 + c_{zi} w_i^2 + k_{xi} \alpha^2 + k_{yi} \beta^2 + k_{zi} \gamma^2) + \\ + g \sum_{n=0}^{c-1} [m_{p1} (\eta_n^p)_{m_{p1}} + m_{p2} (\eta_n^p)_{m_{p2}} + m_0 (\eta_n^p)_{m_0}].$$

Opór tłumienia przy obracaniu wału korbowego możemy zastąpić równoważnym oporem wiskotycznym o współczynniku  $h$  i przedstawić funkcję rozproszenia energii (Rayleigha) w postaci

$$(2.16) \quad D = \frac{1}{2} \sum_i (l_{xi} \dot{u}_i^2 + l_{yi} \dot{v}_i^2 + l_{zi} \dot{w}_i^2 + h_{xi} \dot{\alpha}^2 + h_{yi} \dot{\beta}^2 + h_{zi} \dot{\gamma}^2) + \frac{1}{2} h \dot{\varphi}^2.$$

Powyższe zależności mogą być wykorzystane do analizy układów drgających z silnikami o dowolnej ilości cylindrów i stopni swobody oraz o dowolnych układach wykorbień i podkładek elastycznych, przy czym zestawione na ich podstawie równania ruchu zawierają dokładne zależności określające wszystkie siły i momenty działające na silnik.

### 3. Analiza pionowych drgań silnika dwucylindrowego

Moment napędowy silnika od sił gazowych wyrazić można w postaci [8]

$$(3.1) \quad M_s = crT + \sum_k C_k^{(c)} \sin(\xi k \varphi + \vartheta_k^{(c)}),$$

gdzie  $T$  oznacza średnią wartość siły gazowej działającej prostopadle do jednego wykorbień na promieniu  $r$ , będącą nieliniową funkcją prędkości kątowej o postaci [9]:  $T = A_0 + A_1 \dot{\varphi} + A_2 \dot{\varphi}^2 + A_3 \dot{\varphi}^3 + \dots$ ,  $A_0, A_1, A_2, \dots$  — stałe;  $C_k^{(c)}, \vartheta_k^{(c)}$  — amplitudę i fazę  $k$ -tej harmonicznej silnika o  $c$  wykorbieńiach, traktowane w pierwszym przybliżeniu jako



stałe i odpowiadające średniej prędkości kątowej;  $\xi$  — ilość cykli pracy przypadającą na jeden obrót wału, tj.  $\xi = 1/2$  dla 4-suwów i  $\xi = 1$  dla 2-suwów.

Analogicznie przedstawimy moment oporowy odbiornika mocy

$$(3.2) \quad M_B = B + \sum_l B_l \sin(\eta l \varphi + \sigma_l).$$

Analizując drgania pionowe silnika przyjmiemy jako współrzędne uogólnione  $v$  i  $\varphi$ . Na podstawie równania Lagrange'a drugiego rodzaju i zależności wyprowadzonych w rozdziale 2 otrzymujemy następujące równania ruchu dla silnika o  $c$  wykorbieniach:

$$(3.3) \quad m\ddot{v} + \dot{v} \sum_i l_{yi} + v \sum_i c_{yi} = \sum_{n=0}^{c-1} \left\{ m_{p1} r \dot{\varphi}^2 [\cos(\varphi + nd_n \pi - \delta) + \lambda \cos 2(\varphi + nd_n \pi - \delta)] \cos \delta + m_{p1} r \ddot{\varphi} \left[ \sin(\varphi + nd_n \pi - \delta) + \frac{1}{2} \lambda \sin 2(\varphi + nd_n \pi - \delta) \right] \cos \delta + m_{p2} r \dot{\varphi}^2 [\cos(\varphi + nd_n \pi + \delta) + \lambda \cos 2(\varphi + nd_n \pi + \delta)] \cos \delta + m_{p2} r \ddot{\varphi} \left[ \sin(\varphi + nd_n \pi + \delta) + \frac{1}{2} \lambda \sin 2(\varphi + nd_n \pi + \delta) \right] \cos \delta + m_0 r \dot{\varphi}^2 \cos(\varphi + nd_n \pi) + m_0 r \ddot{\varphi} \sin(\varphi + nd_n \pi) \right\},$$

$$(3.4) \quad I\ddot{\varphi} + \Delta M - m_{p1}(K_1 + L_1) - m_{p2}(K_2 + L_2) - m_0 Q_0 = R\delta^{(c)},$$

gdzie:

$$(3.5) \quad I = I' + cr^2 \left( \frac{1}{2} + \frac{1}{8} \lambda^2 \right) (m_{p1} + m_{p2}) + cm_0 r^2,$$

$$\Delta M = -r\ddot{v} \sum_{n=0}^{c-1} \left\{ m_{p1} \cos \delta \left[ \sin(\varphi + nd_n \pi - \delta) + \frac{1}{2} \lambda \sin 2(\varphi + nd_n \pi - \delta) \right] + m_{p2} \cos \delta \left[ \sin(\varphi + nd_n \pi + \delta) + \frac{1}{2} \lambda \sin 2(\varphi + nd_n \pi + \delta) \right] + m_0 \sin(\varphi + nd_n \pi) \right\},$$

$$K_{1/2} = \sum_{n=0}^{c-1} \left\{ \frac{1}{2} r^2 \dot{\varphi}^2 \left[ \frac{1}{2} \lambda \sin(\varphi + nd_n \pi \mp \delta) - \sin 2(\varphi + nd_n \pi \mp \delta) - \frac{3}{2} \lambda \sin 3(\varphi + nd_n \pi \mp \delta) - \frac{1}{2} \lambda^2 \sin 4(\varphi + nd_n \pi \mp \delta) \right] + gr \left[ \sin(\varphi + nd_n \pi \mp \delta) + \frac{1}{2} \lambda \sin 2(\varphi + nd_n \pi \mp \delta) \right] \cos \delta \right\},$$

$$L_{1/2} = \sum_{n=0}^{c-1} \left\{ \frac{1}{2} r^2 \ddot{\varphi} \left[ -\lambda \cos(\varphi + nd_n \pi \mp \delta) + \cos 2(\varphi + nd_n \pi \mp \delta) + \lambda \cos 3(\varphi + nd_n \pi \mp \delta) + \frac{1}{4} \lambda^2 \cos 4(\varphi + nd_n \pi \mp \delta) \right] \right\},$$

$$(3.5) \quad Q_0 = \sum_{n=0}^{c-1} gr \sin(\varphi + nd_n \pi),$$

[c.d.]

$$R_0^{(c)} = crT - B + \sum_k C_k^{(c)} \sin(\xi k \varphi + \nu_k^{(c)}) - \sum_l B_l \sin(\eta l \varphi + \sigma_l) - h \dot{\varphi}.$$

Występujący w równaniu (3.4) człon  $\Delta M$  nazwiemy dodatkowym momentem oporowym. W równaniu momentów na wale silnika w przypadku sztywnego posadowienia człon ten jest równy zero.

Dla silnika dwucylindrowego ( $c = 1, n = 0$ ) równania (3.3) i (3.4) przyjmują, dla  $m_{p1} = m_{p2} = m_p$  i przy oznaczeniach  $\sum_i l_{yi} = l_y, \sum_i c_{yi} = c_y$ , postać:

$$(3.6) \quad m\ddot{v} + l_y \dot{v} + c_y v = 2m_p r \left[ \dot{\varphi}^2 (\cos \varphi \cos^2 \delta + \lambda \cos 2\delta \cos \delta) + \right. \\ \left. + \ddot{\varphi} \left( \sin \varphi \cos^2 \delta + \frac{1}{2} \lambda \sin 2\varphi \cos 2\delta \cos \delta \right) \right] + m_0 r (\dot{\varphi}^2 \cos \varphi + \ddot{\varphi} \sin \varphi),$$

$$(3.7) \quad I\ddot{\varphi} - r\ddot{v} \left[ 2m_p \left( \sin \varphi \cos \delta + \frac{1}{2} \lambda \sin 2\varphi \cos 2\delta \right) + m_0 \sin \varphi \right] - \\ - m_p r \left[ r\dot{\varphi}^2 \left( \frac{1}{2} \lambda \sin \varphi \cos \delta - \sin 2\varphi \cos 2\delta - \frac{3}{2} \lambda \sin 3\varphi \cos 3\delta - \right. \right. \\ \left. \left. - \frac{1}{2} \lambda^2 \sin 4\varphi \cos 4\delta \right) + 2g \left( \sin \varphi \cos \delta + \frac{1}{2} \lambda \sin 2\varphi \cos 2\delta \right) + r\ddot{\varphi} \left( -\lambda \cos \varphi \cos \delta + \right. \right. \\ \left. \left. + \cos 2\varphi \cos 2\delta + \lambda \cos 3\varphi \cos 3\delta + \frac{1}{4} \lambda^2 \cos 4\varphi \cos 4\delta \right) \right] - m_0 gr \sin \varphi = R_0^{(1)}.$$

Uwzględniając, że niewyrównoważenie silnika i tłumienie w układzie amortyzacji mają w praktyce małe wartości, możemy do rozwiązania równań typu (3.3) i (3.4) zastosować asymptotyczną metodę KRYŁOWA-BOGOLUBOWA-MITROPOLSKIEGO [10, 11]. W celu umożliwienia analizowania zachowania się drgającego układu także w obszarze rezonansowym, w którym różnica faz pomiędzy drganiami własnymi i wymuszeniem okazuje istotny wpływ na zmiany amplitudy i fazy drgań, poszukiwać będziemy rozwiązań równań (3.6) i (3.7) w pierwszym przybliżeniu w postaci

$$(3.8) \quad v = a \cos(\varphi + \psi) + \varepsilon u_1(a, \varphi, \varphi + \psi, \omega), \\ \dot{\varphi} = \omega,$$

gdzie  $\varepsilon$  oznacza mały parametr,  $u_1$  jest małą funkcją okresową, natomiast  $a, \psi$  i  $\omega$  są płynnie zmieniającymi się wielkościami, określonymi równaniami:

$$(3.9) \quad \dot{a} = \varepsilon A_1(a, \psi, \omega), \\ \dot{\psi} = b - \omega + \varepsilon B_1(a, \psi, \omega), \quad b^2 = \frac{c_y}{m}, \\ \dot{\omega} = \varepsilon D_1(a, \psi, \omega).$$

Z dokładnością do członów pierwszego rzędu małości możemy z uwzględnieniem zależności (3.8) i (3.9) napisać:

$$(3.10) \quad \begin{aligned} \dot{v} &= -ab \sin(\varphi + \psi) + \varepsilon \left[ A_1 \cos(\varphi + \psi) - aB_1 \sin(\varphi + \psi) + b \frac{\partial u_1}{\partial(\varphi + \psi)} + \omega \frac{\partial u_1}{\partial \varphi} \right], \\ \ddot{v} &= -ab^2 \cos(\varphi + \psi) + \varepsilon \left\{ \left[ (b - \omega) \frac{\partial A_1}{\partial \psi} - 2abB_1 \right] \cos(\varphi + \psi) - \left[ a(b - \omega) \frac{\partial B_1}{\partial \psi} + \right. \right. \\ &\quad \left. \left. + 2bA_1 \right] \sin(\varphi + \psi) + b^2 \frac{\partial^2 u_1}{\partial(\varphi + \psi)^2} + 2b\omega \frac{\partial^2 u_1}{\partial(\varphi + \psi) \partial \varphi} + \omega^2 \frac{\partial^2 u_1}{\partial \varphi^2} \right\}. \end{aligned}$$

Po wprowadzeniu do równań (3.6) i (3.7) małego parametru i po podstawieniu zależności (3.10) otrzymujemy równania:

$$(3.11) \quad \omega^2 \frac{\partial^2 u_1}{\partial \varphi^2} + 2b\omega \frac{\partial^2 u_1}{\partial(\varphi + \psi) \partial \varphi} + b^2 \frac{\partial^2 u_1}{\partial(\varphi + \psi)^2} + b^2 u_1 - \left[ 2bA_1 + a(b - \omega) \frac{\partial B_1}{\partial \psi} \right] \times \\ \times \sin(\varphi + \psi) - \left[ 2abB_1 - (b - \omega) \frac{\partial A_1}{\partial \psi} \right] \cos(\varphi + \psi) = \frac{1}{m} [abl, \sin(\varphi + \psi) + \\ + 2m_p r \omega^2 (\cos \varphi \cos^2 \delta + \lambda \cos 2\varphi \cos 2\delta \cos \delta) + m_o r \omega^2 \cos \varphi],$$

$$(3.12) \quad \ddot{\varphi} = \frac{\varepsilon}{I} \left\{ R_{\delta}^{(1)} - ab^2 r \cos(\varphi + \psi) \left[ 2m_p \left( \sin \varphi \cos \delta + \frac{1}{2} \lambda \sin 2\varphi \cos 2\delta \right) + m_o \sin \varphi \right] + \right. \\ \left. + m_p r^2 \omega^2 \left( \frac{1}{2} \lambda \sin \varphi \cos \delta - \sin 2\varphi \cos 2\delta - \frac{3}{2} \lambda \sin 3\varphi \cos 3\delta - \right. \right. \\ \left. \left. - \frac{1}{2} \lambda^2 \sin 4\varphi \cos 4\delta \right) + 2m_p g r \left( \sin \varphi \cos \delta + \frac{1}{2} \lambda \sin 2\varphi \cos 2\delta \right) + m_o g r \sin \varphi \right\}.$$

Z równania (3.11) można wyznaczyć funkcje  $u_1$ ,  $A_1$  i  $B_1$ , przy czym w celu jednoznacznego ich wyznaczenia postawimy warunek, aby  $a$  była pełną amplitudą pierwszej harmoniki zmiennej  $(\varphi + \psi)$ , tzn. poszukiwać będziemy rozwiązań na  $u_1$  w postaci

$$(3.13) \quad u_1 = \sum_{n_1, n_2 = -\infty}^{\infty} \{ g_{n_1, n_2} \cos[n_1 \varphi + n_2(\varphi + \psi)] + h_{n_1, n_2} \sin[n_1 \varphi + n_2(\varphi + \psi)] \}, \\ n_1 + n_2 \neq \pm 1.$$

W wyniku otrzymujemy:

$$(3.14) \quad u_1 = \frac{2m_p r \lambda \omega^2}{m(b^2 - 4\omega^2)} \cos 2\delta \cos \delta \cos 2\varphi.$$

Porównując współczynniki stojące przed funkcjami  $\sin(\varphi + \psi)$  i  $\cos(\varphi + \psi)$  po obu stronach równania (3.11) z uwzględnieniem (3.14) otrzymujemy równania:

$$2bA_1 + a(b - \omega) \frac{\partial B_1}{\partial \psi} = -\frac{1}{m} (2m_p \cos^2 \delta + m_o) r \omega^2 \sin \psi - \frac{1}{m} abl_y, \\ 2abB_1 - (b - \omega) \frac{\partial A_1}{\partial \psi} = -\frac{1}{m} (2m_p \cos^2 \delta + m_o) r \omega^2 \cos \psi,$$

skąd

$$(3.15) \quad A_1 = -\frac{2m_p \cos^2 \delta + m_0}{m(\omega + b)} r\omega^2 \sin \psi - \frac{1}{2m} a l_y, \quad B_1 = -\frac{2m_p \cos^2 \delta + m_0}{am(\omega + b)} r\omega^2 \cos \psi.$$

Funkcję  $D_1$  wyznaczamy z równania (3.12) przez uśrednienie prawej strony tego równania po  $(\varphi + \psi)$  w okresie  $2\pi$

$$(3.16) \quad D_1 = \frac{1}{I} \left[ rT - B - h\omega + \frac{1}{2} (2m_p \cos^2 \delta + m_0) ab^2 r \sin \psi \right].$$

Na podstawie równań (3.9) i zależności (3.15), (3.16) wyznaczyć można wielkości  $a$ ,  $\psi$  i  $\omega$ . W stanach nieustalonych posłużyć się można metodą EULERA, zgodnie z którą proces rozpoczynający się w chwili  $t_0$  od wartości  $a_0$ ,  $\psi_0$  i  $\omega_0$  określa się z zależności:

$$a_{t=t_0+\Delta t} = a_0 + \Delta t(\dot{a})_{t=t_0}, \quad a_{t=t_0+2\Delta t} = a_{t=t_0+\Delta t} + \Delta t(\dot{a})_{t=t_0+\Delta t}, \dots$$

i z analogicznych zależności dla wielkości  $\psi$  i  $\omega$ .

Dla stanów ustalonych równania (3.9) mają rozwiązania:

$$(3.17) \quad a = \frac{(2m_p \cos^2 \delta + m_0) r\omega^2}{m(\omega + b) \sqrt{(b - \omega)^2 + \left(\frac{l_y}{2m}\right)^2}}, \quad \psi = \arctg \left[ \frac{l_y}{2m(\omega - b)} \right],$$

a  $\omega$  spełnia równanie:

$$(3.18) \quad rT - B - h\omega - \frac{1}{4\omega^2} a^2 b^2 l_y (\omega + b) = 0,$$

w którym człon

$$(3.19) \quad (\Delta M)_0 = \frac{1}{4\omega^2} a^2 b^2 l_y (\omega + b)$$

stanowi stały, w stanach ustalonych, składnik dodatkowego momentu oporowego, powodujący spadek prędkości kątowej silnika  $\Delta\omega = \omega_0 - \omega$  i stratę mocy w porównaniu ze sztywnym posadowieniem

$$(3.20) \quad (\Delta N)_0 = (\Delta M)_0 \omega,$$

gdzie  $\omega_0$  spełnia równanie:

$$(3.21) \quad rT - B - h\omega_0 = 0.$$

Z uwzględnieniem zależności (3.17) otrzymujemy:

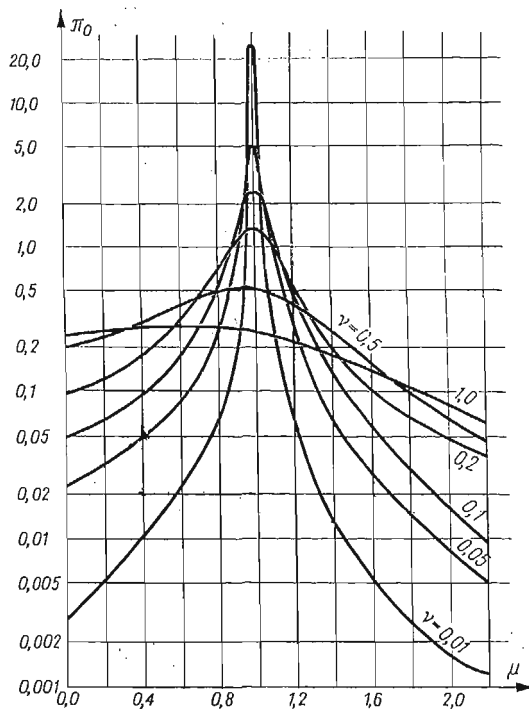
$$(3.22) \quad (\Delta M)_0 = M_0 \pi_0, \quad (\Delta N)_0 = M_0 \pi_0 \omega,$$

gdzie

$$(3.23) \quad M_0 = \frac{1}{m} (2m_p \cos^2 \delta + m_0)^2 r^2 \omega^2, \quad \pi_0 = \frac{\nu}{2(\mu + 1)[(1 - \mu)^2 + \nu^2]},$$

$$\nu = \frac{l_y}{2mb}, \quad \mu = \frac{\omega}{b}.$$

Zależność wartości  $\pi_0$  od wartości stosunku częstotliwości  $\mu$  dla różnych wartości bezwymiarowego współczynnika  $\nu$  przedstawiono wykreślnie na rys. 3. Zależność ta umożliwia dobór systemu amortyzacji zapewniającego odpowiednio małe straty energetyczne. Wynika



Rys. 3

z niej, że w obszarze rezonansowym korzystne są duże współczynniki tłumienia podkładek elastycznych, a w warunkach nierezonansowych — małe.

#### 4. Nieliniowe drgania silników wielocylindrowych o 6 stopniach swobody

Rozpatrzmy przypadek drgań silników wielocylindrowych o 6 stopniach swobody, przy czym uwzględnimy, że amplitudy drgań obrotowych  $\alpha$ ,  $\beta$  i  $\gamma$  są w praktyce małe i w rozkładach funkcji trygonometrycznych tych kątów w szeregi potęgowe zachowamy tylko pierwsze wyrazy. Ograniczymy się do analizy stanów ustalonych oraz bliskich ustalonym, w których  $\ddot{\varphi}$  jest małą wielkością i pominiemy człony proporcjonalne do iloczynów  $m_{p1/2}\ddot{\varphi}$  i  $m_0\ddot{\varphi}$  jako człony drugiego rzędu małości. Otrzymujemy wtedy na podstawie równania Lagrange'a drugiego rodzaju oraz zależności (2.11)—(2.16) i (3.1), (3.2) następujące równania ruchu:

$$(4.1) \quad \begin{aligned} m\ddot{u} + c_x u - U_y \gamma + U_z \beta &= R_1 + m_{p1}(F_1)_1 + m_{p2}(F_1)_2 + m_0 Q_1, \\ m\ddot{v} + c_y v - V_z \alpha + V_x \gamma &= R_2 + m_{p1}(F_2)_1 + m_{p2}(F_2)_2 + m_0 Q_2, \\ m\ddot{w} + c_z w - W_x \beta + W_y \alpha &= R_3 + m_{p1}(F_3)_1 + m_{p2}(F_3)_2 + m_0 Q_3, \end{aligned}$$

$$(4.1) \quad \begin{aligned} I_x \ddot{\alpha} + c_{xx} \alpha - V_z v + W_y w - c_{zx} \gamma - c_{xy} \beta - crT(\omega_0) &= R_4 + m_{p1}(F_4)_1 + \\ [c.d.] &+ m_{p2}(F_4)_2 + m_0 Q_4, \\ I_y \ddot{\beta} + c_{yy} \beta - W_x w - U_z u + c_{xy} \alpha - c_{yz} \gamma &= R_5 + m_{p1}(F_5)_1 + m_{p2}(F_5)_2 + m_0 Q_5, \\ I_z \ddot{\gamma} + c_{zz} \gamma - U_y u + V_x v - c_{yz} \beta - c_{zx} \alpha &= R_6 + m_{p1}(F_6)_1 + m_{p2}(F_6)_2 + m_0 Q_6, \\ I \ddot{\varphi} &= R_0^{(c)} + m_{p1}(F_7)_1 + m_{p2}(F_7)_2 + m_0 Q_7, \end{aligned}$$

gdzie:

$$\begin{aligned} c_x &= \sum_i c_{xi}, & c_y &= \sum_i c_{yi}, & c_z &= \sum_i c_{zi}, & U_y &= \sum_i c_{xi} y_i, & V_z &= \sum_i c_{yi} z_i, \\ & & & & & & & & & W_x &= \sum_i c_{zi} x_i, & V_x &= \sum_i c_{yi} x_i, \\ \\ W_y &= \sum_i c_{zi} y_i, & U_z &= \sum_i c_{xi} z_i, & c_{xx} &= \sum_i (k_{xi} + c_{yi} z_i^2 + c_{zi} y_i^2), \\ & & & & & & & & & c_{yy} &= \sum_i (k_{yi} + c_{xi} z_i^2 + c_{zi} x_i^2), \\ \\ c_{zz} &= \sum_i (k_{zi} + c_{xi} y_i^2 + c_{yi} x_i^2), & c_{xy} &= c_{yx} = \sum_i c_{zi} x_i y_i, & c_{yz} &= c_{zy} = \sum_i c_{xi} y_i z_i, \\ & & & & & & & & & c_{zx} &= c_{xz} = \sum_i c_{vi} z_i x_i, \\ \\ l_x &= \sum_i l_{xi}, & l_y &= \sum_i l_{yi}, & l_z &= \sum_i l_{zi}, & U'_y &= \sum_i l_{xi} y_i, & V'_z &= \sum_i l_{yi} z_i, \\ & & & & & & & & & W'_x &= \sum_i l_{zi} x_i, & V'_x &= \sum_i l_{yi} x_i, \\ \\ W'_y &= \sum_i l_{zi} y_i, & U'_z &= \sum_i l_{xi} z_i, & l_{xx} &= \sum_i (h_{xi} + l_{yi} z_i^2 + l_{zi} y_i^2), & l_{yy} &= \sum_i (h_{yi} + l_{xi} z_i^2 + l_{zi} x_i^2), \\ \\ l_{zz} &= \sum_i (h_{zi} + l_{xi} y_i^2 + l_{yi} x_i^2), & l_{xy} &= l_{yx} = \sum_i l_{zi} x_i y_i, & l_{yz} &= l_{zy} = \sum_i l_{xi} y_i z_i, \\ & & & & & & & & & l_{zx} &= l_{xz} = \sum_i l_{yi} z_i x_i, \\ \\ R_1 &= -l_x \dot{u} + U'_y \dot{\gamma} - U_z \dot{\beta}, & R_2 &= -l_y \dot{v} + V'_z \dot{\alpha} - V'_x \dot{\gamma}, & R_3 &= -l_z \dot{w} + W'_x \dot{\beta} - W'_y \dot{\alpha}, \\ R_4 &= \sum_k C_k^{(c)} \sin(\xi k \varphi + \vartheta_k^{(c)}) + \tau(\dot{\varphi}) - l_{xx} \dot{\alpha} + V'_z \dot{v} - W'_y \dot{w} + l_{zx} \dot{\gamma} + l_{xy} \dot{\beta}, \\ & & & & & & & & & crT(\omega_0) &= crT(\dot{\varphi}) - \tau(\dot{\varphi}), \\ \\ R_5 &= -l_{yy} \dot{\beta} + W'_x \dot{w} - U'_z \dot{u} + l_{xy} \dot{\alpha} + l_{yz} \dot{\gamma}, & R_6 &= -l_{zz} \dot{\gamma} + U'_y \dot{u} - V'_x \dot{v} + l_{yz} \dot{\beta} + l_{zx} \dot{\alpha}, \\ I_x &= I'_x + cm_{p1} \left[ c_0 - \left( L - \frac{1}{4} r \lambda \right) \sin \delta \right]^2 + cm_{p2} \left[ c_0 + \left( L - \frac{1}{4} r \lambda \right) \sin \delta \right]^2 + \\ & & & & & & & & & c(m_{p1} + m_{p2}) \left[ b_1^2 + r^2 \left( \frac{1}{2} + \frac{1}{32} \lambda^2 \right) \right] + cm_0 (b_0^2 + c_0^2 + r^2), \end{aligned}$$

$$I_y = I'_y + cm_{p1} \left[ c_0 - \left( L - \frac{1}{4} r \lambda \right) \sin \delta \right]^2 + cm_{p2} \left[ c_0 + \left( L - \frac{1}{4} r \lambda \right) \sin \delta \right]^2 + \\ + cr^2(m_{p1} + m_{p2}) \left( \frac{1}{2} + \frac{1}{32} \lambda^2 \right) \sin^2 \delta + cm_0 \left( c_0^2 + \frac{1}{2} r^2 \right) + \sum_{n=0}^{c-1} [m_{p1}(a_n + e)^2 + \\ + m_{p2}(a_n - e)^2 + m_0 a_n^2],$$

$$I_z = I'_z + c(m_{p1} + m_{p2}) \left[ b_1^2 + r^2 \left( \frac{1}{2} + \frac{1}{32} \lambda^2 \right) \cos^2 \delta \right] + cm_0 \left( b_0^2 + \frac{1}{2} r^2 \right) + \\ + \sum_{n=0}^{c-1} [m_{p1}(a_n + e)^2 + m_{p2}(a_n - e)^2 + m_0 a_n^2],$$

$$(F_1)_{1/2} = -\frac{1}{2} \left\{ -2cb_1 \ddot{\gamma} + 2cc_1 \ddot{\beta} + \sum_{n=0}^{c-1} [-2rf_1(\ddot{\gamma} \cos \delta \pm \ddot{\beta} \sin \delta) + \right. \\ \left. + 4rf_3(\dot{\gamma} \cos \delta \pm \dot{\beta} \sin \delta)\dot{\varphi} + 2rf_2(\gamma \cos \delta \pm \beta \sin \delta)\dot{\varphi}^2] \right\},$$

$$f_2 = \cos(\varphi + nd_n \pi \mp \delta) + \lambda \cos 2(\varphi + nd_n \pi \mp \delta), \quad f_3 = \sin(\varphi + nd_n \pi \mp \delta) + \\ + \frac{1}{2} \lambda \sin 2(\varphi + nd_n \pi \mp \delta),$$

$$Q_1 = -\frac{1}{2} \left\{ -2cb_0 \ddot{\gamma} + 2cc_0 \ddot{\beta} + \sum_{n=0}^{c-1} [-2r\dot{\gamma} \cos(\varphi + nd_n \pi) + 4r\dot{\gamma}\dot{\varphi} \sin(\varphi + nd_n \pi) + \right. \\ \left. + 2r\gamma\dot{\varphi}^2 \cos(\varphi + nd_n \pi) - 2r\dot{\beta} \sin(\varphi + nd_n \pi) - 4r\dot{\beta}\dot{\varphi} \cos(\varphi + nd_n \pi) + \right. \\ \left. + 2r\beta\dot{\varphi}^2 \sin(\varphi + nd_n \pi) \right\},$$

$$(F_2)_{1/2} = -\frac{1}{2} \left\{ -2cc_1 \ddot{\alpha} + \sum_{n=0}^{c-1} [2(a_n \pm e)\ddot{\gamma} \pm 2rf_1 \ddot{\alpha} \sin \delta \mp 4rf_3 \dot{\alpha}\dot{\varphi} \sin \delta \mp \right. \\ \left. \mp 2rf_2(\alpha \sin \delta \pm \cos \delta)\dot{\varphi}^2] \right\},$$

$$Q_2 = -\frac{1}{2} \left\{ -2cc_0 \ddot{\alpha} + \sum_{n=0}^{c-1} [2a_n \ddot{\gamma} + 2r\ddot{\alpha} \sin(\varphi + nd_n \pi - \alpha) - \right. \\ \left. - 2r(\dot{\varphi} - \dot{\alpha})^2 \cos(\varphi + nd_n \pi - \alpha) \right\},$$

$$(F_3)_{1/2} = -\frac{1}{2} \left\{ 2cb_1 \ddot{\alpha} + \sum_{n=0}^{c-1} [-2\dot{\beta}(a_n \pm e) + 2rf_1 \ddot{\alpha} \cos \delta - 4rf_3 \dot{\alpha}\dot{\varphi} \cos \delta - \right. \\ \left. - 2rf_2(\alpha \cos \delta \mp \sin \delta)\dot{\varphi}^2] \right\},$$

$$Q_3 = -\frac{1}{2} \left\{ 2cb_0 \ddot{\alpha} + \sum_{n=0}^{c-1} [-2a_n \ddot{\beta} + 2r\ddot{\alpha} \cos(\varphi + nd_n \pi - \alpha) + \right. \\ \left. + 2r(\dot{\varphi} - \dot{\alpha})^2 \sin(\varphi + nd_n \pi - \alpha) \right\},$$

$$\begin{aligned}
(F_4)_{1/2} = & -\frac{1}{2} \left[ -2cc_1\ddot{v} + 2cb_1\ddot{w} + \sum_{n=0}^{c-1} \left\{ 2r^2\ddot{\alpha} \left[ \frac{1}{4} \lambda \cos(\varphi + nd_n\pi \mp \delta) + \right. \right. \right. \\
& + \frac{1}{2} \cos 2(\varphi + nd_n\pi \mp \delta) + \frac{1}{4} \lambda \cos 3(\varphi + nd_n\pi \mp \delta) + \frac{1}{32} \lambda^2 \cos 4(\varphi + nd_n\pi \mp \delta) \left. \right] - \\
& - 2r^2\dot{\alpha}\dot{\varphi} \left[ \frac{1}{4} \lambda \sin(\varphi + nd_n\pi \mp \delta) + \sin 2(\varphi + nd_n\pi \mp \delta) + \frac{3}{4} \lambda \sin 3(\varphi + nd_n\pi \mp \delta) + \right. \\
& \left. \frac{1}{8} \lambda^2 \sin 4(\varphi + nd_n\pi \mp \delta) \right] \pm 2rf_1\ddot{v} \sin \delta - 2c_1(a_n \pm e)\ddot{\gamma} \pm 2rf_1(a_n \pm e)\ddot{\gamma} \sin \delta \mp \\
& \mp 4rc_1f_1\ddot{\alpha} \sin \delta \pm 2rc_1f_2(\alpha \sin \delta \pm \cos \delta)\dot{\varphi}^2 - 2r^2f_1f_2\alpha\dot{\varphi}^2 + 2rf_1\dot{w} \cos \delta - \\
& - 2b_1(a_n \pm e)\ddot{\beta} - 2r(a_n \pm e)f_1\ddot{\beta} \cos \delta + 4rb_1f_1\ddot{\alpha} \cos \delta - 4rb_1f_3\dot{\alpha}\dot{\varphi} \cos \delta - \\
& - 2rb_1f_2(\alpha \cos \mp \sin \delta)\dot{\varphi}^2 \pm 2gr \left[ f_1 - \cos nd_n\pi - \frac{1}{4} \lambda \cos 2(nd_n\pi \mp \delta) \right] \sin \delta \pm \\
& \left. \pm 4rc_1f_3\dot{\alpha}\dot{\varphi} \sin \delta \right\} \Big].
\end{aligned}$$

$$\begin{aligned}
Q_4 = & -\frac{1}{2} \left\{ -2cc_0\ddot{v} + 2cb_0\ddot{w} + \sum_{n=0}^{c-1} [2r\ddot{v} \sin(\varphi + nd_n\pi - \alpha) - 2a_n c_0\ddot{\gamma} - \right. \\
& - 4rc_0\ddot{\alpha} \sin(\varphi + nd_n\pi - \alpha) + 2rc_0(\dot{\varphi} - \dot{\alpha})^2 \cos(\varphi + nd_n\pi - \alpha) + \\
& + 2a_n r\ddot{\gamma} \sin(\varphi + nd_n\pi - \alpha) + 2r\dot{v} \cos(\varphi + nd_n\pi - \alpha) - 2a_n b_0\ddot{\beta} - \\
& - 2ra_n\ddot{\beta} \cos(\varphi + nd_n\pi - \alpha) + 4b_0 r\ddot{\alpha} \cos(\varphi + nd_n\pi - \alpha) + \\
& \left. + 2b_0 r(\dot{\varphi} - \dot{\alpha})^2 \sin(\varphi + nd_n\pi - \alpha) + 2gr \sin(\varphi + nd_n\pi - \alpha) \right\},
\end{aligned}$$

$$\begin{aligned}
(F_5)_{1/2} = & -\frac{1}{2} \left[ 2cc_1\ddot{u} \pm cr^2\ddot{\gamma} \left( \frac{1}{2} + \frac{1}{32} \lambda^2 \right) \sin 2\delta + cr^2 \left( \frac{1}{2} + \frac{1}{32} \lambda^2 \right) (2\dot{\beta} \sin^2 \delta \pm \right. \\
& \left. \pm \dot{\gamma} \sin 2\delta) - 2cb_1c_1\ddot{\gamma} + \sum_{n=0}^{c-1} \left\{ -2\dot{w}(a_n \pm e) - 2b_1(a_n \pm e)\ddot{\alpha} - r^2\dot{\varphi} \left[ \frac{1}{4} \lambda \sin(\varphi + \right. \right. \right. \\
& + nd_n\pi \mp \delta) + \sin 2(\varphi + nd_n\pi \mp \delta) + \frac{3}{4} \lambda \sin 3(\varphi + nd_n\pi \mp \delta) + \\
& + \frac{1}{8} \lambda^2 \sin 4(\varphi + nd_n\pi \mp \delta) \left. \right] (2\dot{\beta} \sin^2 \delta \pm \dot{\gamma} \sin 2\delta) + r^2 \left[ \frac{1}{4} \lambda \cos(\varphi + nd_n\pi \mp \delta) + \right. \\
& + \frac{1}{2} \cos 2(\varphi + nd_n\pi \mp \delta) + \frac{1}{4} \lambda \cos 3(\varphi + nd_n\pi \mp \delta) + \frac{1}{32} \lambda^2 \cos 4(\varphi + nd_n\pi \mp \delta) \left. \right] \times \\
& \times (2\dot{\beta} \sin^2 \delta \pm \dot{\gamma} \sin 2\delta) \mp 2rf_1\ddot{u} \sin \delta \pm 2rb_1f_1\ddot{\gamma} \sin \delta + 4rc_1f_3\dot{\varphi}(\dot{\gamma} \cos \delta \pm \dot{\beta} \sin \delta) - \\
& - 2rc_1f_1(\dot{\gamma} \cos \delta \pm 2\dot{\beta} \sin \delta) + 2rc_1f_2(\gamma \cos \delta \pm \beta \sin \delta)\dot{\varphi}^2 \pm 2r^2f_3^2\dot{\varphi}^2(\gamma \cos \delta \pm \\
& \pm \beta \sin \delta) \sin \delta \mp 2r^2f_1f_2\dot{\varphi}^2(\gamma \cos \delta \pm \beta \sin \delta) \sin \delta + 4r(a_n \pm e)f_3\dot{\alpha}\dot{\varphi} \cos \delta - \\
& - 2r(a_n \pm e)f_1\ddot{\alpha} \cos \delta + 2r(a_n \pm e)f_2\dot{\varphi}^2(\alpha \cos \delta \mp \sin \delta) - r^2f_3^2(2\beta \sin^2 \delta \pm \gamma \sin 2\delta)\dot{\varphi}^2 \left. \right\} \Big],
\end{aligned}$$



$$Q_5 = -\frac{1}{2} \left\{ -cr^2 \beta \dot{\varphi}^2 + 2cc_0 \ddot{u} + 2cb_0 c_0 \ddot{y} - 2cr^2 \dot{\gamma} \dot{\varphi} + \sum_{n=0}^{c-1} [-r^2 \ddot{\beta} \cos 2(\varphi + nd_n \pi) + \right. \\ \left. + 2r^2 \dot{\beta} \dot{\varphi} \sin 2(\varphi + nd_n \pi) - 2r \ddot{u} \sin(\varphi + nd_n \pi) + 2rb_0 \ddot{y} \sin(\varphi + nd_n \pi) - \right. \\ \left. - 2c_0 r \ddot{y} \cos(\varphi + nd_n \pi) + 4c_0 r \dot{\gamma} \dot{\varphi} \sin(\varphi + nd_n \pi) + 2c_0 r \gamma \dot{\varphi}^2 \cos(\varphi + nd_n \pi) - \right. \\ \left. - 4c_0 r \dot{\beta} \sin(\varphi + nd_n \pi) - 4c_0 r \dot{\beta} \dot{\varphi} \cos(\varphi + nd_n \pi) + 2a_n \ddot{w} + 2c_0 r \beta \dot{\varphi}^2 \sin(\varphi + nd_n \pi) + \right. \\ \left. + r^2 \dot{\gamma} \sin 2(\varphi + nd_n \pi) + 2r^2 \dot{\gamma} \dot{\varphi} \cos 2(\varphi + nd_n \pi) - 2a_n b_0 \ddot{\alpha} - r^2 \gamma \dot{\varphi}^2 \sin 2(\varphi + nd_n \pi) + \right. \\ \left. + r^2 \beta \dot{\varphi}^2 \cos 2(\varphi + nd_n \pi) - 2ra_n \ddot{\alpha} \cos(\varphi + nd_n \pi - \alpha) - \right. \\ \left. - 2ra_n (\dot{\varphi} - \dot{\alpha})^2 \sin(\varphi + nd_n \pi - \alpha) \right\},$$

$$(F_6)_{1,2} = -\frac{1}{2} \left[ \pm cr^2 \left( \frac{1}{2} + \frac{1}{32} \lambda^2 \right) \ddot{\beta} \sin 2\delta - 2cb_1 \ddot{u} - 2cb_1 c_1 \ddot{\beta} + \sum_{n=0}^{c-1} \left\{ 2(a_n \pm e) \ddot{v} - \right. \right. \\ \left. - 2(a_n \pm e) c_1 \ddot{\alpha} - r^2 \dot{\varphi} \left[ \frac{1}{4} \lambda \sin(\varphi + nd_n \pi \mp \delta) + \sin 2(\varphi + nd_n \pi \mp \delta) + \right. \right. \\ \left. \left. + \frac{3}{4} \lambda \sin 3(\varphi + nd_n \pi \mp \delta) + \frac{1}{8} \lambda^2 \sin 4(\varphi + nd_n \pi \mp \delta) \right] (2\dot{\gamma} \cos^2 \delta \pm \dot{\beta} \sin 2\delta) + \right. \\ \left. + r^2 \left[ \frac{1}{4} \lambda \cos(\varphi + nd_n \pi \mp \delta) + \frac{1}{2} \cos 2(\varphi + nd_n \pi \mp \delta) + \frac{1}{4} \lambda \cos 3(\varphi + nd_n \pi \mp \delta) + \right. \right. \\ \left. \left. + \frac{1}{32} \lambda^2 \cos 4(\varphi + nd_n \pi \mp \delta) \right] (2\dot{\gamma} \cos^2 \delta \pm \dot{\beta} \sin 2\delta) - 2rf_1 \ddot{u} \cos \delta - \right. \\ \left. - 4rb_1 f_3 \dot{\varphi} (\dot{\gamma} \cos \delta \pm \dot{\beta} \sin \delta) + 2rb_1 f_1 \ddot{y} \cos \delta - 2rb_1 f_2 \dot{\varphi}^2 (\gamma \cos \delta \pm \beta \sin \delta) - \right. \\ \left. - 2rc_1 f_1 \dot{\beta} \cos \delta + 2r^2 \dot{\varphi}^2 f_3^2 (\gamma \cos \delta \pm \beta \sin \delta) \cos \delta - 2r^2 f_1 f_2 \dot{\varphi}^2 (\gamma \cos \delta \pm \beta \sin \delta) \cos \delta + \right. \\ \left. + 2rb_1 f_1 (\ddot{y} \cos \delta \pm \dot{\beta} \sin \delta) \mp 4r(a_n \pm e) f_3 \dot{\alpha} \dot{\varphi} \sin \delta \pm 2r(a_n \pm e) f_1 \ddot{\alpha} \sin \delta \mp \right. \\ \left. \left. 2r(a_n \pm e) f_2 \dot{\varphi}^2 (\alpha \sin \delta \pm \cos \delta) - r^2 f_3^2 (2\gamma \cos^2 \delta \pm \beta \sin 2\delta) \dot{\varphi}^2 \right\} \right],$$

$$Q_6 = -\frac{1}{2} \left\{ -cr^2 \gamma \dot{\varphi}^2 - 2cb_0 \ddot{u} - 2cb_0 c_0 \ddot{\beta} + 2cr^2 \dot{\beta} \dot{\varphi} + \sum_{n=0}^{c-1} [r^2 \dot{\gamma} \cos 2(\varphi + nd_n \pi) - \right. \\ \left. - 2r^2 \dot{\gamma} \dot{\varphi} \sin 2(\varphi + nd_n \pi) - 2r \ddot{u} \cos(\varphi + nd_n \pi) + 4rb_0 \ddot{y} \cos(\varphi + nd_n \pi) - \right. \\ \left. - 4rb_0 \dot{\gamma} \dot{\varphi} \sin(\varphi + nd_n \pi) - 2rb_0 \gamma \dot{\varphi}^2 \cos(\varphi + nd_n \pi) + 2rb_0 \dot{\beta} \sin(\varphi + nd_n \pi) + \right. \\ \left. + 4rb_0 \dot{\beta} \dot{\varphi} \cos(\varphi + nd_n \pi) - 2rb_0 \beta \dot{\varphi}^2 \sin(\varphi + nd_n \pi) - 2c_0 r \dot{\beta} \cos(\varphi + nd_n \pi) - \right. \\ \left. - r^2 \gamma \dot{\varphi}^2 \cos 2(\varphi + nd_n \pi) + r^2 \dot{\beta} \sin 2(\varphi + nd_n \pi) + 2r^2 \dot{\beta} \dot{\varphi} \cos 2(\varphi + nd_n \pi) - \right. \\ \left. - r^2 \beta \dot{\varphi}^2 \sin 2(\varphi + nd_n \pi) + 2a_n \ddot{v} - 2a_n c_0 \ddot{\alpha} + 2a_n r \ddot{\alpha} \sin(\varphi + nd_n \pi - \alpha) - \right. \\ \left. - 2a_n r (\dot{\varphi} - \dot{\alpha})^2 \cos(\varphi + nd_n \pi - \alpha) \right\},$$

$$\begin{aligned}
(F_7)_{1/2} = & -\frac{1}{2} \left[ 4cr^2 \alpha \dot{\alpha} \dot{\varphi} \left( \frac{1}{2} + \frac{1}{8} \lambda^2 \right) + \sum_{n=0}^{c-1} \left\{ 2r^2 f_2 f_3 \dot{\varphi}^2 (\gamma^2 \cos^2 \delta \pm \beta \gamma \sin 2\delta + \beta^2 \sin^2 \delta) + \right. \\
& + 2r^2 f_3^2 \dot{\varphi} (2\gamma \dot{\gamma} \cos^2 \delta \pm \dot{\beta} \gamma \sin 2\delta \pm \beta \dot{\gamma} \sin 2\delta + 2\beta \dot{\beta} \sin^2 \delta) + 2rf_3 \ddot{u} (\gamma \cos \delta \pm \beta \sin \delta) - \\
& - 2rb_1 f_3 \ddot{\gamma} (\gamma \cos \delta \pm \beta \sin \delta) + 2rc_1 f_3 \ddot{\beta} (\gamma \cos \delta \pm \beta \sin \delta) - 2r^2 f_1 f_3 (\dot{\gamma} \cos \delta \pm \dot{\beta} \sin \delta) \times \\
& \times (\gamma \cos \delta \pm \beta \sin \delta) - r^2 \dot{\varphi}^2 \left[ \frac{1}{2} \lambda \sin(\varphi + nd_n \pi \mp \delta) - \sin 2(\varphi + nd_n \pi \mp \delta) - \right. \\
& - \frac{3}{2} \lambda \sin 3(\varphi + nd_n \pi \mp \delta) - \frac{1}{2} \lambda^2 \sin 4(\varphi + nd_n \pi \mp \delta) \left. \right] (\alpha^2 + 1) + 4r^2 \dot{\alpha} \dot{\varphi} \left[ \frac{1}{2} \lambda \cos(\varphi + \right. \\
& + nd_n \pi \mp \delta) - \frac{1}{2} \cos 2(\varphi + nd_n \pi \mp \delta) - \frac{1}{2} \lambda \cos 3(\varphi + nd_n \pi \mp \delta) - \frac{1}{8} \lambda^2 \cos 4(\varphi + \\
& + nd_n \pi \mp \delta) \left. \right] \alpha \mp 2rf_3 \ddot{v} (\alpha \sin \delta \pm \cos \delta) \mp 2r(a_n \pm e) f_3 \ddot{\gamma} (\alpha \sin \delta \pm \cos \delta) \pm \\
& \pm 2rc_1 f_3 \ddot{\alpha} (\alpha \sin \delta \pm \cos \delta) - 2r^2 f_1 f_3 \ddot{\alpha} (\alpha \sin \delta \pm \cos \delta) \sin \delta - 2rf_3 \ddot{w} (\alpha \cos \delta \mp \sin \delta) + \\
& + 2r(a_n \pm e) f_3 \ddot{\beta} (\alpha \cos \delta \mp \sin \delta) - 2rb_1 f_3 \ddot{\alpha} (\alpha \cos \delta \mp \sin \delta) - 2r^2 f_1 f_3 \ddot{\alpha} (\alpha \cos \delta \mp \\
& \mp \sin \delta) \cos \delta - 2grf_3 (\cos \delta \pm \alpha \sin \delta) \left. \right\} \Big], \\
Q_7 = & -\frac{1}{2} \left\{ 2cr^2 \gamma \dot{\gamma} \dot{\varphi} + 2cr^2 \beta \dot{\beta} \dot{\varphi} - 2cr^2 \ddot{\alpha} + cr^2 \beta \ddot{\gamma} - cr^2 \ddot{\beta} \gamma + \sum_{n=0}^{c-1} [-2r^2 \gamma \dot{\gamma} \dot{\varphi} \cos 2 \times \right. \\
& \times (\varphi + nd_n \pi) + r^2 \gamma^2 \dot{\varphi}^2 \sin 2(\varphi + nd_n \pi) + 2r^2 \beta \dot{\beta} \dot{\varphi} \cos 2(\varphi + nd_n \pi) - r^2 \beta^2 \dot{\varphi}^2 \sin 2 \times \\
& \times (\varphi + nd_n \pi) + 2r\gamma \ddot{u} \sin(\varphi + nd_n \pi) - 2r\beta \ddot{u} \cos(\varphi + nd_n \pi) - 2rb_0 \gamma \ddot{\gamma} \sin(\varphi + nd_n \pi) + \\
& + 2rb_0 \beta \ddot{\gamma} \cos(\varphi + nd_n \pi) + 2rc_0 \gamma \ddot{\beta} \sin(\varphi + nd_n \pi) - 2c_0 r \beta \ddot{\beta} \cos(\varphi + nd_n \pi) - \\
& - r^2 \gamma \ddot{\gamma} \sin 2(\varphi + nd_n \pi) + r^2 \beta \ddot{\beta} \cos 2(\varphi + nd_n \pi) + r^2 \gamma \ddot{\beta} \cos 2(\varphi + nd_n \pi) - \\
& - 2r^2 \gamma \dot{\beta} \dot{\varphi} \sin 2(\varphi + nd_n \pi) - 2r^2 \beta \dot{\gamma} \dot{\varphi} \sin 2(\varphi + nd_n \pi) - 2r^2 \beta \gamma \dot{\varphi}^2 \cos 2(\varphi + nd_n \pi) + \\
& + r^2 \beta \ddot{\beta} \sin 2(\varphi + nd_n \pi) - 2r\ddot{v} \sin(\varphi + nd_n \pi - \alpha) + 2c_0 r \ddot{\alpha} \sin(\varphi + nd_n \pi - \alpha) - \\
& - 2a_n r \ddot{\gamma} \sin(\varphi + nd_n \pi - \alpha) - 2r\ddot{w} \cos(\varphi + nd_n \pi - \alpha) + 2ra_n \ddot{\beta} \cos(\varphi + nd_n \pi - \alpha) - \\
& \left. - 2b_0 r \ddot{\alpha} \cos(\varphi + nd_n \pi - \alpha) - 2gr \sin(\varphi + nd_n \pi - \alpha) \right\}.
\end{aligned}$$

Człony zgrupowane na prawych stronach równań (4.1) mają w praktyce małe wartości. Gdy prawe strony równań (4.1) są równe zeru, mamy do czynienia z drganiami własnymi o rozwiązaniach:

$$(4.2) \quad u = u_0 + \varrho_1, \quad v = v_0 + \varrho_2, \quad w = w_0 + \varrho_3, \quad \alpha = \alpha_0 + \varrho_4, \quad \beta = \beta_0 + \varrho_5, \\
\gamma = \gamma_0 + \varrho_6, \quad \dot{\varphi} = \text{const.}$$

W rozwiązaniach tych  $u_0, \dots, \gamma_0$  są stałymi składnikami wywołanymi stałą składową momentu reakcyjnego  $crT(\omega_0)$ , a  $\varrho_s (s = 1, \dots, 6)$  są sumą składników o postaci

$$(4.3) \quad \varrho_s^{(k)} = \varphi_s^{(k)} a_k \cos(\lambda_k t + \delta_k), \quad s, k = 1, \dots, 6,$$

gdzie:  $a_k, \delta_k$  oznaczają stałe określone z warunków początkowych,  $\lambda_k$  są częstościami drgań własnych określonymi z równania charakterystycznego układu, zaś  $\varphi_s^{(k)}$  są stałymi spełniającymi równania:

$$(4.4) \quad \sum_{s=1}^6 (c_{js} - a_{js} \lambda_k^2) \varphi_s^{(k)} = 0, \quad j, k = 1, \dots, 6$$

i warunki ortogonalności:

$$(4.5) \quad \sum_{s=1}^6 \sum_{j=1}^6 a_{sj} \varphi_s^{(k)} \varphi_j^{(l)} = 0, \quad \sum_{s=1}^6 \sum_{j=1}^6 c_{js} \varphi_s^{(k)} \varphi_j^{(l)} = 0, \quad k \neq l;$$

$$[a_{js}] = \begin{bmatrix} m & 0 & 0 & 0 & 0 & 0 \\ 0 & m & 0 & 0 & 0 & 0 \\ 0 & 0 & m & 0 & 0 & 0 \\ 0 & 0 & 0 & I_x & 0 & 0 \\ 0 & 0 & 0 & 0 & I_y & 0 \\ 0 & 0 & 0 & 0 & 0 & I_z \end{bmatrix}, \quad [c_{js}] = \begin{bmatrix} c_x & 0 & 0 & 0 & U_z & -U_y \\ 0 & c_y & 0 & -V_z & 0 & V_x \\ 0 & 0 & c_z & W_y & -W_x & 0 \\ 0 & -V_z & W_y & c_{xx} & -c_{xy} & -c_{zx} \\ U_z & 0 & -W_x & -c_{xy} & c_{yy} & -c_{yz} \\ U_y & V_x & 0 & -c_{zx} & -c_{yz} & c_{zz} \end{bmatrix}.$$

W niniejszej pracy podamy rozwiązania równań (4.1) w pierwszym przybliżeniu. Wykorzystamy tu tę właściwość analizowanego układu, że na skutek istnienia tłumienia i wymuszeń związanych z obrotem wału korbowego ustalą się drgania określone przez częstość wymuszeń i tę spośród częstości drgań własnych, której wartość jest najbardziej zbliżona do wartości częstości wymuszeń. Drgania z innymi częstościami własnymi bądź wygasną, bądź mogą nie być rozpatrywane w pierwszym przybliżeniu [10, 11]. Założymy przy tym, że nie występuje rezonans wewnętrzny.

Po podstawieniu (4.2) do równań (4.1) i wprowadzeniu współrzędnych quasi-normalnych za pomocą podstawienia

$$(4.6) \quad q_s(t) = \sum_{k=1}^6 \varphi_s^{(k)} q_k(t), \quad s = 1, \dots, 6$$

otrzymujemy równania:

$$(4.7) \quad \ddot{q}_k + \lambda_k^2 q_k = \frac{1}{M_k} \sum_{j=1}^6 \varphi_j^{(k)} [R_j + m_{p1}(F_j)_1 + m_{p2}(F_j)_2 + m_0 Q_j], \quad k = 1, \dots, 6,$$

$$(4.8) \quad \ddot{\varphi} = \frac{1}{J} [R_0^{(c)} + m_{p1}(F_7)_1 + m_{p2}(F_7)_2 + m_0 Q_7], \quad M_k = \sum_{s=1}^6 \sum_{j=1}^6 a_{sj} \varphi_s^{(k)} \varphi_j^{(k)}.$$

Dla wyznaczenia drgań układu w pierwszym przybliżeniu wystarczy ograniczyć się do analizy dwóch równań: równania (4.8) uwzględniającego źródło energii i jednego z równań (4.7). Wybór jednego z równań (4.7) zależy od częstości  $\lambda_k$ , dla której wartość różnicy  $|\lambda_k - \varphi|$  jest najmniejsza. Jeśli taką częstością jest  $\lambda_m$ , należy rozpatrywać układ równań:

$$(4.9) \quad \ddot{q}_m + \lambda_m^2 q_m = \frac{1}{M_m} \sum_{j=1}^6 \varphi_j^{(m)} [R_j + m_{p1}(F_j)_1 + m_{p2}(F_j)_2 + m_0 Q_j],$$

$$(4.10) \quad \ddot{\varphi} = \frac{1}{J} [R_0^{(c)} + m_{p1}(F_7)_1 + m_{p2}(F_7)_2 + m_0 Q_7].$$

Dla równań (4.9) i (4.10) przewidujemy w pierwszym przybliżeniu rozwiązanie w postaci:

$$(4.11) \quad \begin{aligned} q_m &= a \cos(\varphi + \psi) + \varepsilon u_1(a, \varphi, \varphi + \psi, \omega), \\ \dot{\varphi} &= \omega, \\ \dot{\omega} &= \varepsilon D(a, \psi, \omega), \end{aligned}$$

gdzie  $a$  i  $\psi$  są funkcjami czasu i opisują się równaniami:

$$(4.12) \quad \begin{aligned} \dot{a} &= \varepsilon A(\psi, a, \omega), \\ \dot{\psi} &= \lambda_m - \omega + \varepsilon B(a, \psi, \omega). \end{aligned}$$

Podobnie jak w przypadku równania (3.6) otrzymujemy:

$$(4.13) \quad \begin{aligned} \lambda_m^2 \frac{\partial^2 u_1}{\partial(\varphi + \psi)^2} + 2\lambda_m \omega \frac{\partial^2 u_1}{\partial\varphi \partial(\varphi + \psi)} + \omega^2 \frac{\partial^2 u_1}{\partial\varphi^2} + \lambda_m^2 u_1 + \\ + \left[ (\lambda_m - \omega) \frac{\partial A}{\partial\psi} - 2aB\lambda_m \right] \cos(\varphi + \psi) - \left[ (\lambda_m - \omega)a \frac{\partial B}{\partial\psi} + 2A\lambda_m \right] \sin(\varphi + \psi) = \\ = \frac{1}{M_m} \sum_{j=1}^6 \varphi_j^{(m)} [R_j + m_{p1}(F_j)_1 + m_{p2}(F_j)_2 + m_0 Q_j]. \end{aligned}$$

W celu wyznaczenia wielkości  $A$ ,  $B$  i  $u_1$  przedstawimy prawą stronę równania (4.13) oraz  $u_1$  w postaci podwójnych szeregów Fouriera:

$$(4.14) \quad \frac{1}{M_m} \sum_{j=1}^6 \varphi_j^{(m)} [R_j + m_{p1}(F_j)_1 + m_{p2}(F_j)_2 + m_0 Q_j] = \sum_{n_1, n_2=-\infty}^{\infty} F_{n_1, n_2}(a, \omega) e^{i[n_1\varphi + n_2(\varphi + \psi)]},$$

$$(4.15) \quad u_1(a, \varphi, \varphi + \psi, \omega) = \sum_{n_1, n_2=-\infty}^{\infty} u_{n_1, n_2}(a, \omega) e^{i[n_1\varphi + n_2(\varphi + \psi)]},$$

gdzie

$$(4.16) \quad \begin{aligned} F_{n_1, n_2}(a, \omega) = \frac{1}{4\pi^2} \int_0^{2\pi} \int_0^{2\pi} \frac{1}{M_m} \sum_{j=1}^6 \varphi_j^{(m)} [R_j + m_{p1}(F_j)_1 + m_{p2}(F_j)_2 + \\ + m_0 Q_j] e^{-i[n_1\varphi + n_2(\varphi + \psi)]} d\varphi d(\varphi + \psi), \end{aligned}$$

i jest jednością urojoną.

Aby  $a$  była pełną amplitudą pierwszej harmoniki kąta  $(\varphi + \psi)$  powinno zachodzić  $u_{n_1, n_2}(a, \omega) \equiv 0$  dla wszystkich  $n_1$  i  $n_2$  spełniających równość  $n_1 + n_2 = \pm 1$ . Z uwzględnieniem tego warunku otrzymujemy na podstawie (4.13) - (4.16)

$$(4.17) \quad u_{n_1, n_2}(a, \omega) = \frac{F_{n_1, n_2}(a, \omega)}{\lambda_m^2 - (n_1\omega + n_2\lambda_m)^2}, \quad n_1 + n_2 \neq \pm 1,$$

$$(4.18) \quad \begin{aligned} \left[ (\lambda_m - \omega) \frac{\partial A}{\partial\psi} - 2aB\lambda_m \right] \cos(\varphi + \psi) - \left[ (\lambda_m - \omega)a \frac{\partial B}{\partial\psi} + 2A\lambda_m \right] \sin(\varphi + \psi) = \\ = \sum_{\substack{n_1, n_2=-\infty \\ n_1 + n_2 = \pm 1}}^{\infty} F_{n_1, n_2}(a, \omega) e^{i[n_1\varphi + n_2(\varphi + \psi)]}. \end{aligned}$$

Z zależności (4.15) - (4.17) otrzymujemy

$$(4.19) \quad u_1(a, \varphi, \varphi + \psi, \omega) = \frac{1}{4\pi^2} \sum_{\substack{n_1, n_2 = -\infty \\ n_1 + n_2 \neq \pm 1}}^{\infty} \frac{e^{i[n_1\varphi + n_2(\varphi + \psi)]}}{\lambda_m^2 - (n_1\omega + n_2\lambda_m)^2} \int_0^{2\pi} \int_0^{2\pi} \frac{1}{M_m} \sum_{j=1}^6 \varphi_j^{(m)} [R_j + m_{p_1}(F_j)_1 + m_{p_2}(F_j)_2 + m_0 Q_j] e^{-i[n_1\varphi + n_2(\varphi + \psi)]} d\varphi d(\varphi + \psi).$$

W celu otrzymania równań do wyznaczenia funkcji  $A$  i  $B$  porównamy współczynniki stojące przy  $\sin(\varphi + \psi)$  i  $\cos(\varphi + \psi)$  w równaniu (4.18). Oznaczając  $n_1 = -p, n_2 = p \pm 1$  otrzymujemy:

$$\begin{aligned} & \left[ (\lambda_m - \omega) \frac{\partial A}{\partial \psi} - 2aB\lambda_m \right] \cos(\varphi + \psi) - \left[ (\lambda_m - \omega)a \frac{\partial B}{\partial \psi} + 2A\lambda_m \right] \sin(\varphi + \psi) = \\ & = \frac{1}{4\pi^2} \sum_{p=-\infty}^{\infty} e^{ip\psi} [\cos(\varphi + \psi) \pm i \sin(\varphi + \psi)] \int_0^{2\pi} \int_0^{2\pi} \frac{1}{M_m} \sum_{j=1}^6 \varphi_j^{(m)} [R_j + m_{p_1}(F_j)_1 + \\ & \quad + m_{p_2}(F_j)_2 + m_0 Q_j] e^{-ip\psi} [\cos(\varphi + \psi) \mp i \sin(\varphi + \psi)] d\varphi d(\varphi + \psi), \end{aligned}$$

skąd

$$(4.20) \quad \begin{aligned} 2A\lambda_m + a(\lambda_m - \omega) \frac{\partial B}{\partial \psi} &= -\frac{1}{2\pi^2} \sum_{p=-\infty}^{\infty} e^{ip\psi} \int_0^{2\pi} \int_0^{2\pi} \frac{1}{M_m} \sum_{j=1}^6 \varphi_j^{(m)} [R_j + m_{p_1}(F_j)_1 + \\ & \quad + m_{p_2}(F_j)_2 + m_0 Q_j] e^{-ip\psi} \sin(\varphi + \psi) d\varphi d(\varphi + \psi), \\ 2aB\lambda_m - (\lambda_m - \omega) \frac{\partial A}{\partial \psi} &= -\frac{1}{2\pi^2} \sum_{p=-\infty}^{\infty} e^{ip\psi} \int_0^{2\pi} \int_0^{2\pi} \frac{1}{M_m} \sum_{j=1}^6 \varphi_j^{(m)} [R_j + m_{p_1}(F_j)_1 + \\ & \quad + m_{p_2}(F_j)_2 + m_0 Q_j] e^{-ip\psi} \cos(\varphi + \psi) d\varphi d(\varphi + \psi). \end{aligned}$$

Rozwiązania układu (4.20) poszukujemy w postaci szeregów:

$$(4.21) \quad A(a, \psi, \omega) = \sum_{p=-\infty}^{\infty} C_p(a, \omega) e^{ip\psi}, \quad B(a, \psi, \omega) = \sum_{p=-\infty}^{\infty} G_p(a, \omega) e^{ip\psi}.$$

Po podstawieniu (4.21) do (4.20) otrzymujemy rozwiązania:

$$(4.22) \quad \begin{aligned} A(a, \psi, \omega) &= \frac{1}{2\pi^2} \sum_{p=-\infty}^{\infty} \frac{e^{ip\psi}}{4\lambda_m^2 - p^2(\lambda_m - \omega)^2} \left\{ (\lambda_m - \omega) ip \int_0^{2\pi} \int_0^{2\pi} \frac{1}{M_m} \sum_{j=1}^6 \varphi_j^{(m)} \times \right. \\ & \quad \times [R_j + m_{p_1}(F_j)_1 + m_{p_2}(F_j)_2 + m_0 Q_j] e^{-ip\psi} \cos(\varphi + \psi) d\varphi d(\varphi + \psi) - \\ & \quad - 2\lambda_m \int_0^{2\pi} \int_0^{2\pi} \frac{1}{M_m} \sum_{j=1}^6 \varphi_j^{(m)} [R_j + m_{p_1}(F_j)_1 + m_{p_2}(F_j)_2 + m_0 Q_j] \times \\ & \quad \left. \times e^{-ip\psi} \sin(\varphi + \psi) d\varphi d(\varphi + \psi) \right\}, \end{aligned}$$

$$(4.22) \quad B(a, \psi, \omega) = \frac{1}{2\pi^2 a} \sum_{p=-\infty}^{\infty} \frac{e^{ip\psi}}{4\lambda_m^2 - p^2(\lambda_m - \omega)^2} \left\{ (\omega - \lambda) ip \int_0^{2\pi} \int_0^{2\pi} \frac{1}{M_m} \sum_{j=1}^6 \varphi_j^{(m)} \times \right. \\ \left. \times [R_j + m_{p1}(F_j)_1 + m_{p2}(F_j)_2 + m_0 Q_j] e^{-ip\psi} \sin(\varphi + \psi) d\varphi d(\varphi + \psi) - \right. \\ \left. - 2\lambda_m \int_0^{2\pi} \int_0^{2\pi} \frac{1}{M_m} \sum_{j=1}^6 \varphi_j^{(m)} [R_j + m_{p1}(F_j)_1 + m_{p2}(F_j)_2 + m_0 Q_j] \times \right. \\ \left. \times e^{-ip\psi} \cos(\varphi + \psi) d\varphi d(\varphi + \psi) \right\}.$$

Funkcję  $D$  wyznaczmy z równania (4.10) przez uśrednienie prawej strony tego równania po  $(\varphi + \psi)$  w okresie  $2\pi$

$$(4.23) \quad D(a, \psi, \omega) = \frac{1}{2\pi J} \int_0^{2\pi} [R_0^{(c)} + m_{p1}(F_7)_1 + m_{p2}(F_7)_2 + m_0 Q_7] d(\varphi + \psi).$$

Na podstawie (4.11), (4.12), (4.22), (4.23) wyznaczyć można wielkości  $a$ ,  $\psi$  i  $\omega$  oraz z uwzględnieniem (4.2), (4.6) i (4.19) drgania układu:

$$(4.24) \quad u = u_0 + \phi_1^{(m)} [a \cos(\varphi + \psi) + u_1], \quad v = v_0 + \phi_2^{(m)} [a \cos(\varphi + \psi) + u_1], \dots, \\ \gamma = \gamma_0 + \phi_6^{(m)} [a \cos(\varphi + \psi) + u_1].$$

Z równania (4.10) wyznaczyć można wywołany drganiami silnika dodatkowy moment oporowy, jako sumę momentów na wale silnika, z jakimi oddziałują masy  $m_{p1/2}$  i  $m_0$  przy drganiach  $u$ , ...,  $\gamma$

$$(4.25) \quad \Delta M = - \{ m_{p1} [(F_7)_1 - K_1] + m_{p2} [(F_7)_2 - K_2] + m_0 (Q_7 - Q_0) \},$$

kórego stały, w stanach ustalonych, składnik  $(\Delta M)_0 = \frac{1}{2\pi} \int_0^{2\pi} \Delta M d(\varphi + \psi)$  powoduje trwałą spadek prędkości kątowej silnika i stratę mocy  $(\Delta N)_0 \doteq (\Delta M)_0 \omega$ , związaną z tłumieniem w podkładkach elastycznych.

Powyższe zależności pozwalają dokonać analizy drgań i obciążeń silnika oraz doboru układu amortyzacji, spełniającego wymogi stawiane elastycznemu posadowieniu i zapewniającego odpowiednio małe straty energetyczne, przy uwzględnieniu nieliniowych zjawisk i nieidealnego źródła energii. Przez podstawienie  $\delta = 0$  lub  $\delta = \pi/2$  zależności te mogą być wykorzystane także do analizy silników o pionowym układzie cylindrów lub silników typu bokser.

#### Literatura cytowana w tekście

1. W. PFLAUM, W. HEMPEL, *Untersuchung ueber den Verschleiss bei Motoren mit elastischer Lagerung*, MTZ, 23, 11 (1962).
2. W. HEMPEL, *Zusatzkraefte im Triebwerk von Kolbenmaschinen bei elastischer Lagerung und im Seegang*, Forschungsh., Schiffstechnik, April 1966.
3. Y. ROCARD, *Dynamique generale des vibrations*, Masson, Paris 1949.

4. В. О. Кононенко, *Колебательные системы с ограниченным возбуждением*, Изд. Наука, Москва 1964.
5. Е. Г. Голоскоков, А. П. Филиппов, *Нестационарные колебания механических систем*, Наукова Думка, Киев 1966.
6. J. KOLENDА, *Analiza wibracyjno-uderzeniowego układu z bezwładnościowym wzbudnikiem drgań*. Praca przyjęta do druku przez Redakcję Zeszytów Naukowych Politechniki Gdańskiej «Mechanika».
7. J. KOLENDА, *Nieliniowe drgania elastycznie posadowionych silników tłokowych z mimoosiowymi mechanizmami korbowymi z uwzględnieniem nieidealnego źródła energii*. Zeszyty Naukowe Politechniki Gdańskiej «Budownictwo Okrętowe», (w druku).
8. J. JEДRZEJOWSKI, *Mechanika układów korbowych silników samochodowych*, WKŁ, Warszawa 1965.
9. M. СІСНУ, S. WOJСІЕСНOWSKI, *Interpolacja charakterystyk silnikowych za pomocą wielomianów*, Zeszyty Naukowe Politechniki Gdańskiej, Nr 189, Mechanika XVI, 1972.
10. Ю. А. Митропольский, *Нестационарные процессы в нелинейных колебательных системах*, Изд. АН УССР, Киев 1955.
11. Н. Н. Боголюбов, Ю. А. Митропольский, *Асимптотические методы в теории нелинейных колебаний*, Физматгиз, Москва 1963.

#### Резюме

#### НЕЛИНЕЙНЫЕ КОЛЕБАНИЯ АМОРТИЗИРОВАННЫХ V-ОБРАЗНЫХ ДВИГАТЕЛЕЙ С НЕИДЕАЛЬНЫМ ИСТОЧНИКОМ ЭНЕРГИИ

В работе рассматриваются колебания амортизированных V-образных двигателей с неуравновешенными массами и с возвратно-поступательным и вращательным движениями. Учитывается неидеальность источника энергии и угловая скорость двигателя принимается переменной. Поведение рассматриваемых систем описывается с помощью нелинейных дифференциальных уравнений, которые решаются с применением метода Крылова-Боголюбова-Митропольского.

#### Summary

#### NON-LINEAR VIBRATIONS OF ELASTICALLY MOUNTED V-TYPE PISTON ENGINES WITH NON-IDEAL POWER SOURCE

The paper deals with vibrations of elastically mounted V-type engines with reciprocating and rotating unweighted masses. The non-ideal power source and variable rotating speed of engine are taken into account. The behaviour of analysed systems is described by non-linear differential equations which are solved by means of the asymptotic method of Krylov-Bogolubov-Mitropolsky.

INSTYTUT OKRĘTOWY POLITECHNIKI GDAŃSKIEJ

*Praca została złożona w Redakcji dnia 10 stycznia 1975.*